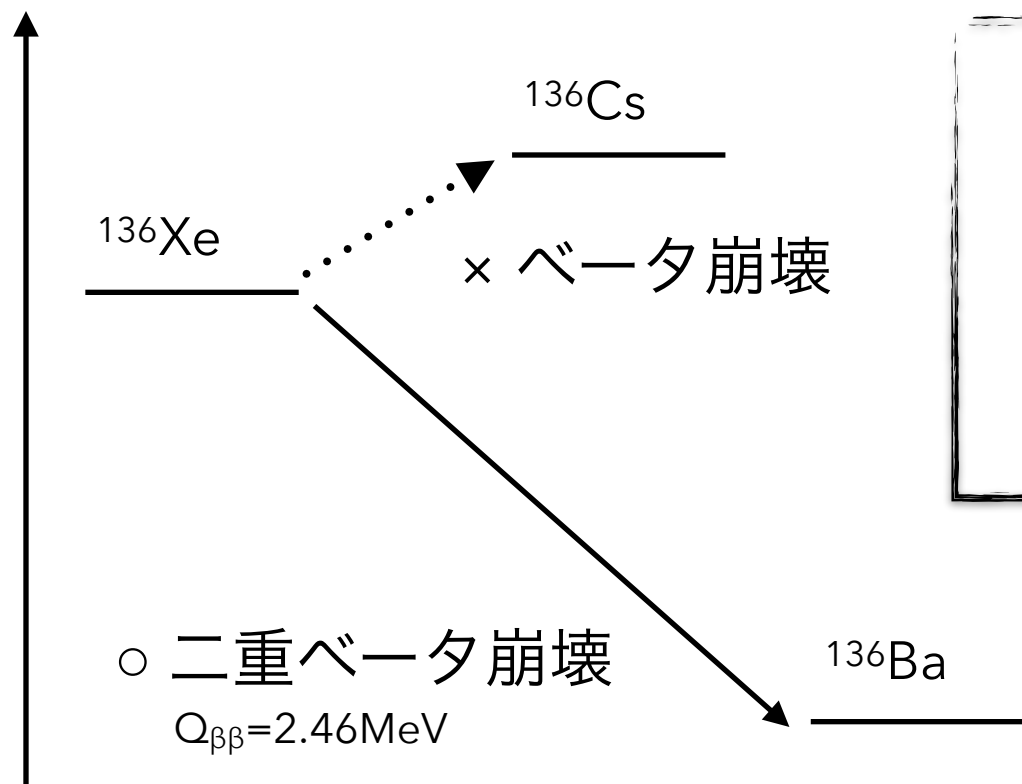


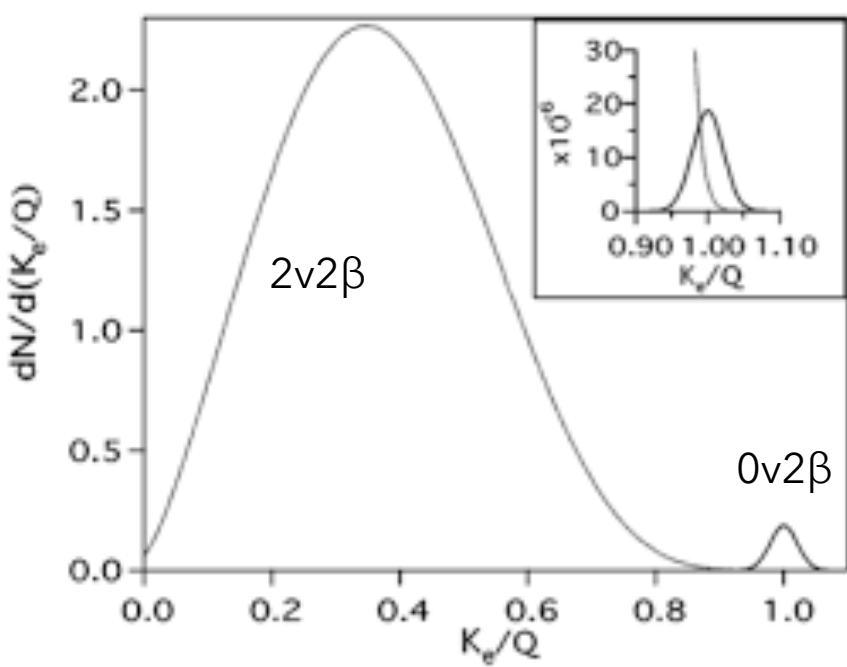
小原脩平

for the AXEL Collaboration

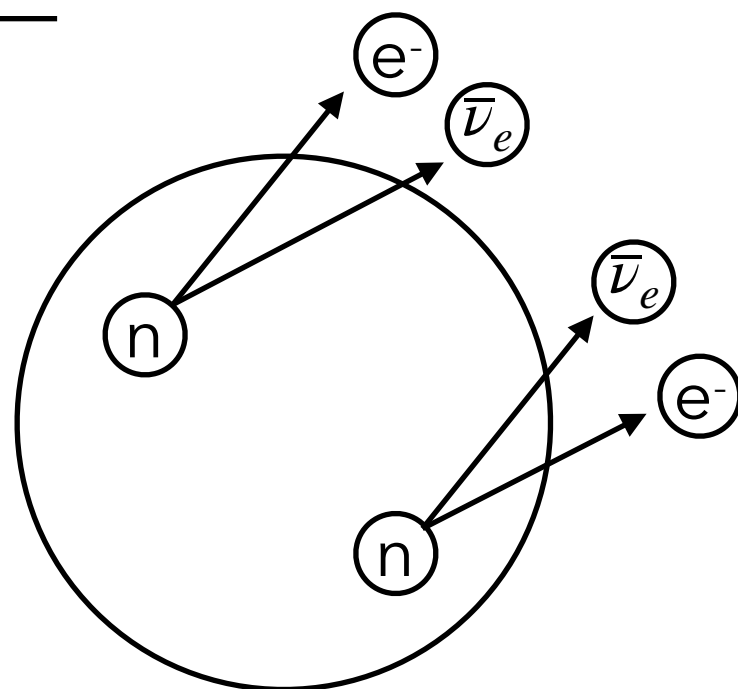
# 二重ベータ崩壊とは



- なかなか起こらない事象 ( $T > 10^{26} \text{ yr}$ )
- 2つの電子だけを放出(単色スペクトル)
- マヨラナ性( $\nu = \bar{\nu}$ )の証拠
- ニュートリノ質量への制限

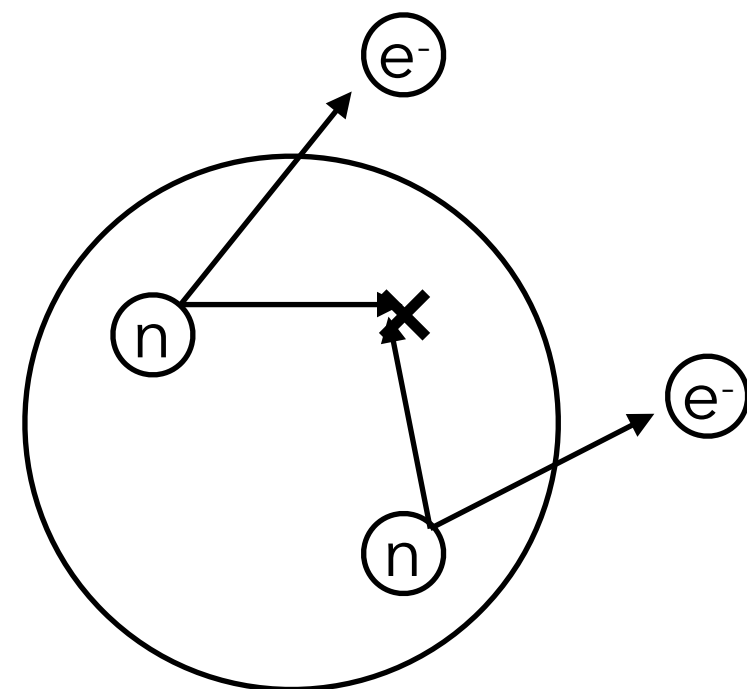


2v2β モード



$$\left(T_{1/2}^{2\nu}\right)^{-1} = G^{2\nu} |M^{2\nu}|^2$$

0v2β モード



$$\left(T_{1/2}^{0\nu}\right)^{-1} = G^{0\nu} |M^{0\nu}|^2 \langle m_{\beta\beta} \rangle^2$$

# 世界の $0\nu 2\beta$ 探索と将来

✓ 背景事象が

感度制限している場合

KamLAND-Zen, SNO+, ...

~500kg-yr

1 ton × 10yr

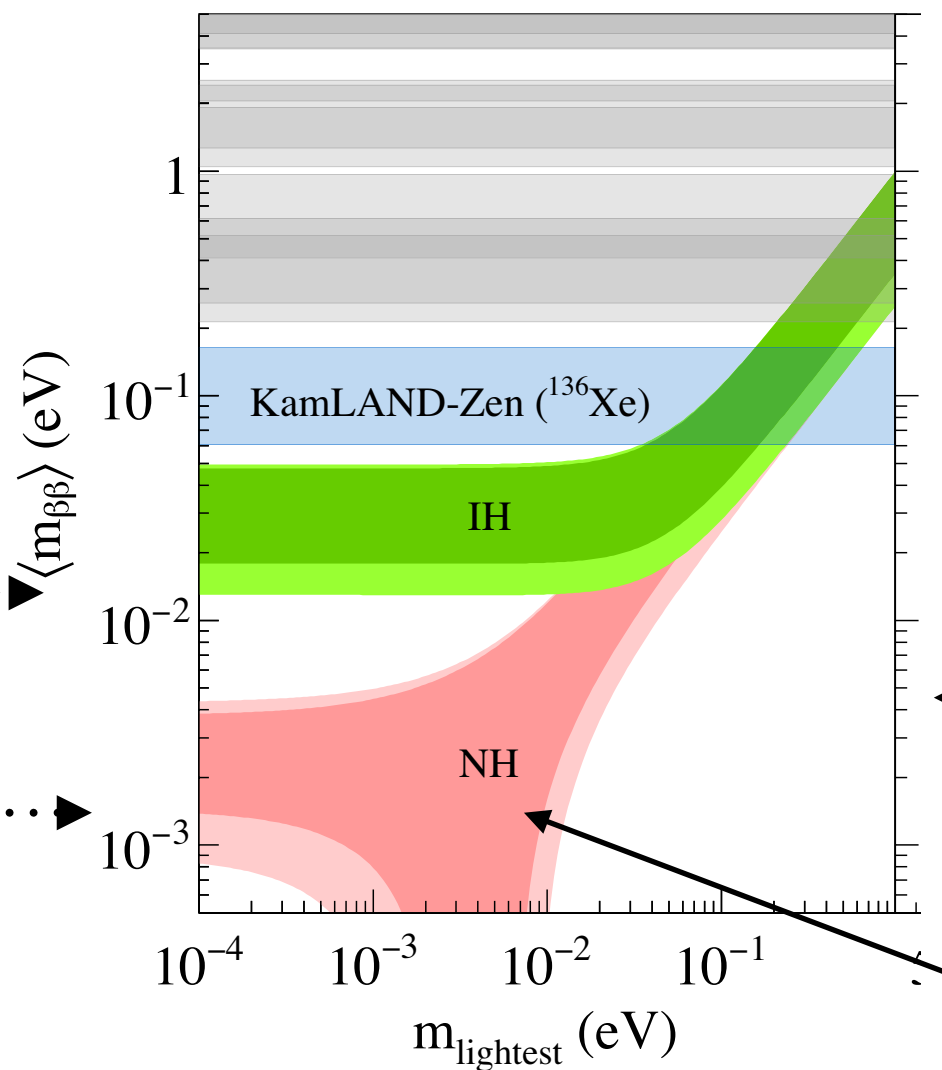
100 ton × 10yr

✓ 背景事象が無視できて、

統計が感度制限している場合

GERDA, MAJORANA, CUORE, ...

arXiv:hep-ph/0202264



最近のニュートリノ振動実験  
は正常階層構造をfavor

これから必要なのは

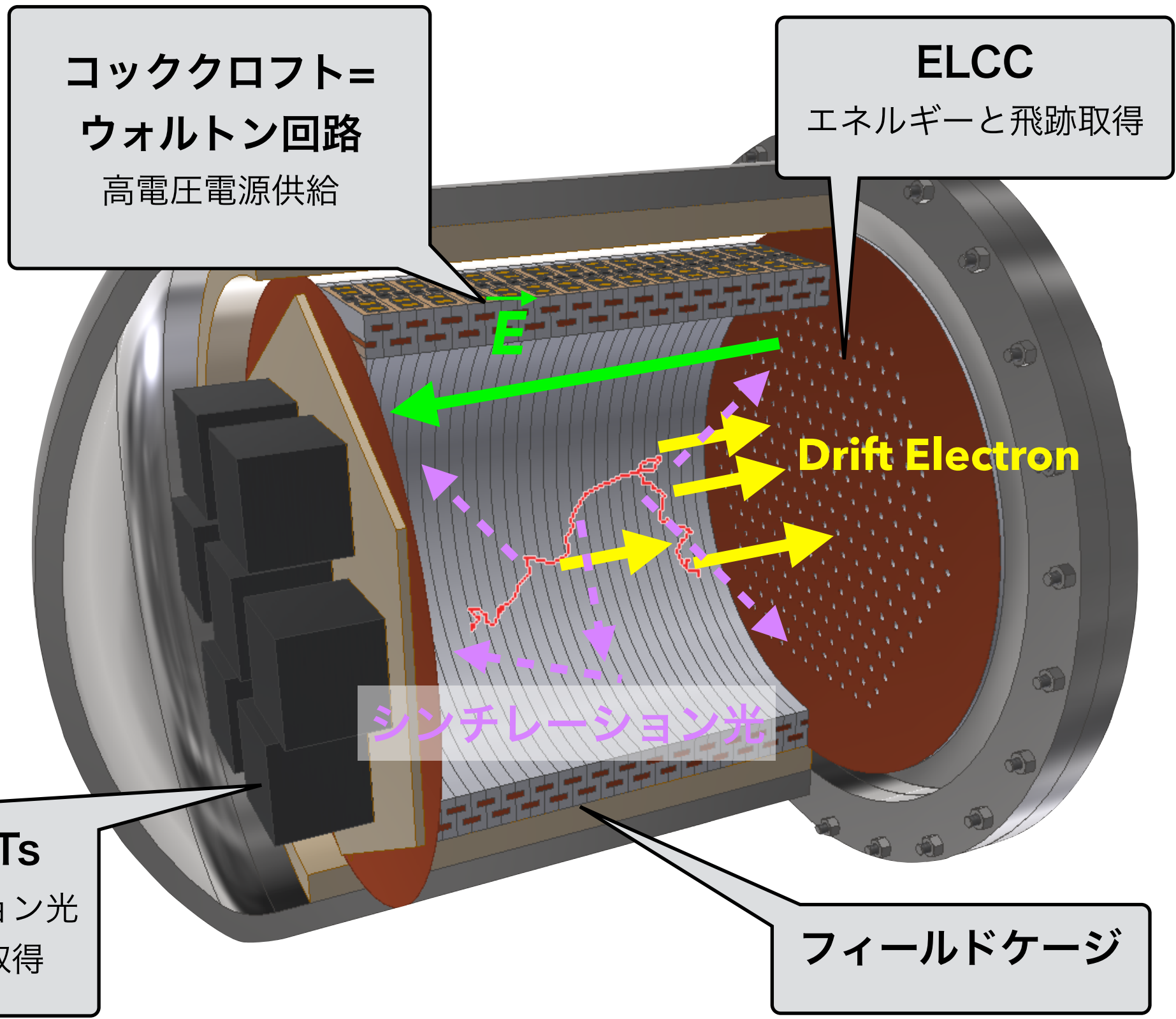
**“背景事象のない, 数tonの検出器”**

# AXEL

(A Xenon ElectroLuminescence detector)

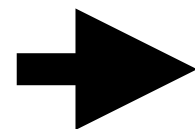
NEXT, PANDAX-III実験  
と似たコンセプト

- $^{136}\text{Xe}$  for  $0\nu 2\beta$
- 1ton キセノンガス
- ~10気圧



# AXEL

(A Xenon ElectroLuminescence detector)



吉田の講演

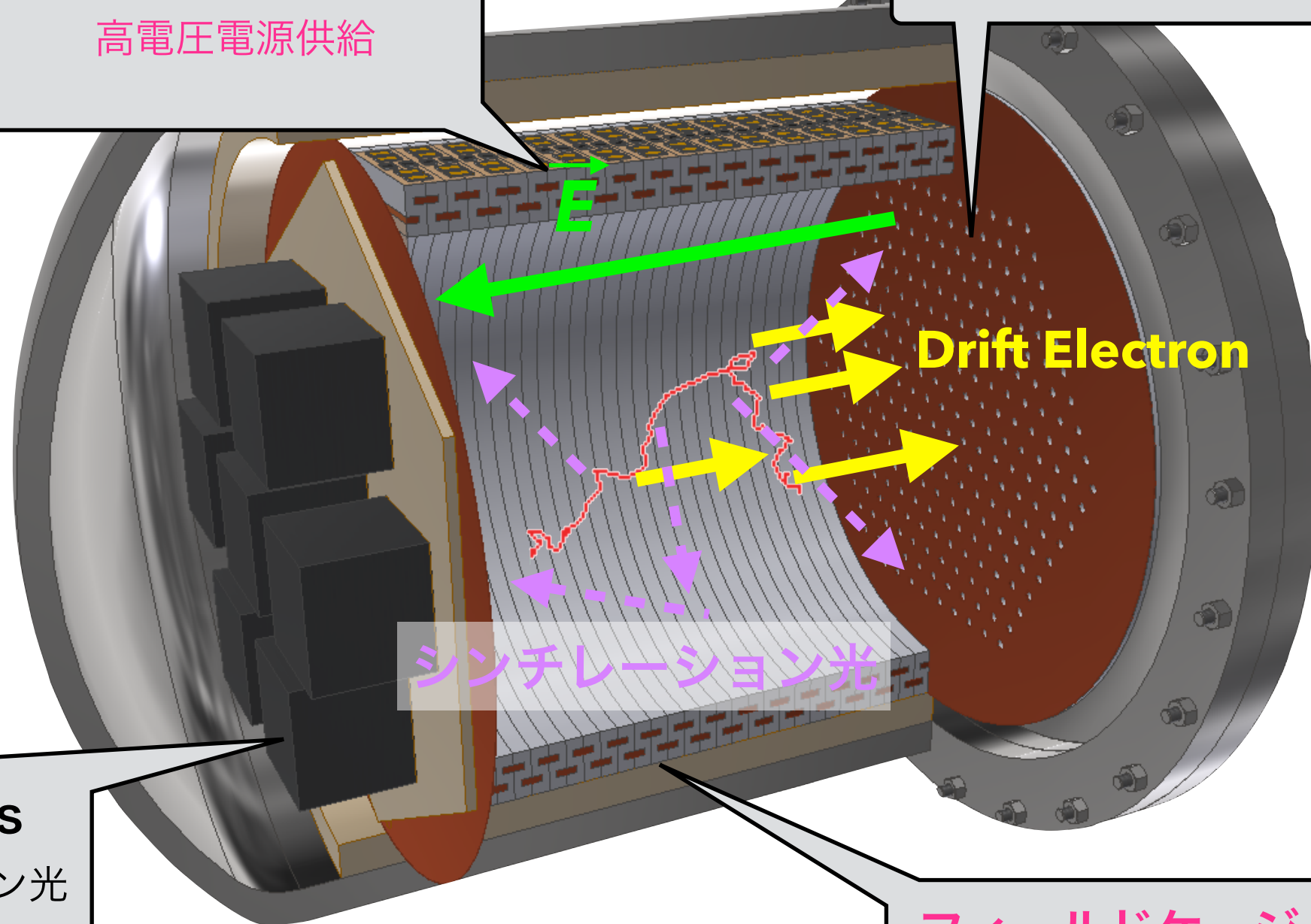
NEXT, PANDAX-III実験

と似たコンセプト

- $^{136}\text{Xe}$  for  $0\nu 2\beta$
- 1ton キセノンガス
- ~10気圧

コッククロフト=  
ウォルトン回路  
高電圧電源供給

ELCC  
エネルギーと飛跡取得



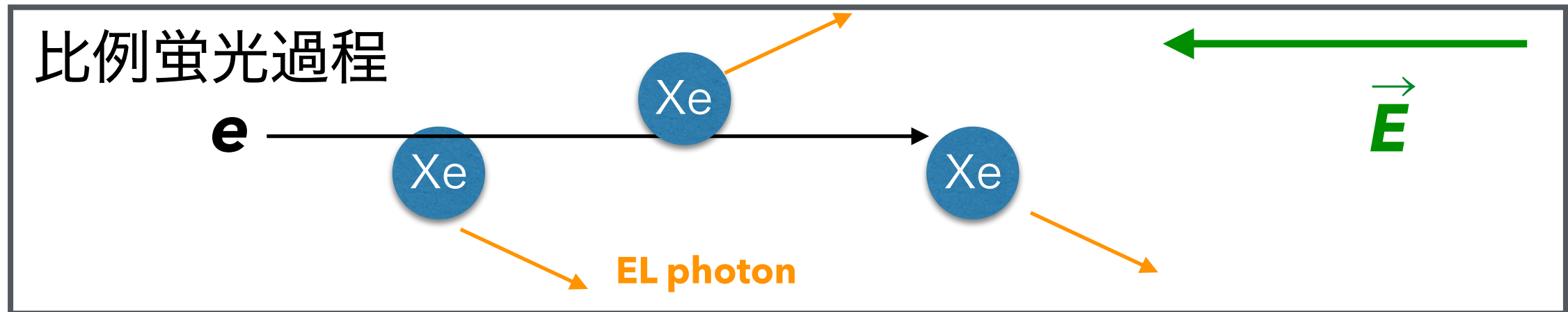
VUV PMTs

シンチレーション光  
で時間情報取得

フィールドケージ

# ELCC

(Electroluminescence Light Collection Cell)

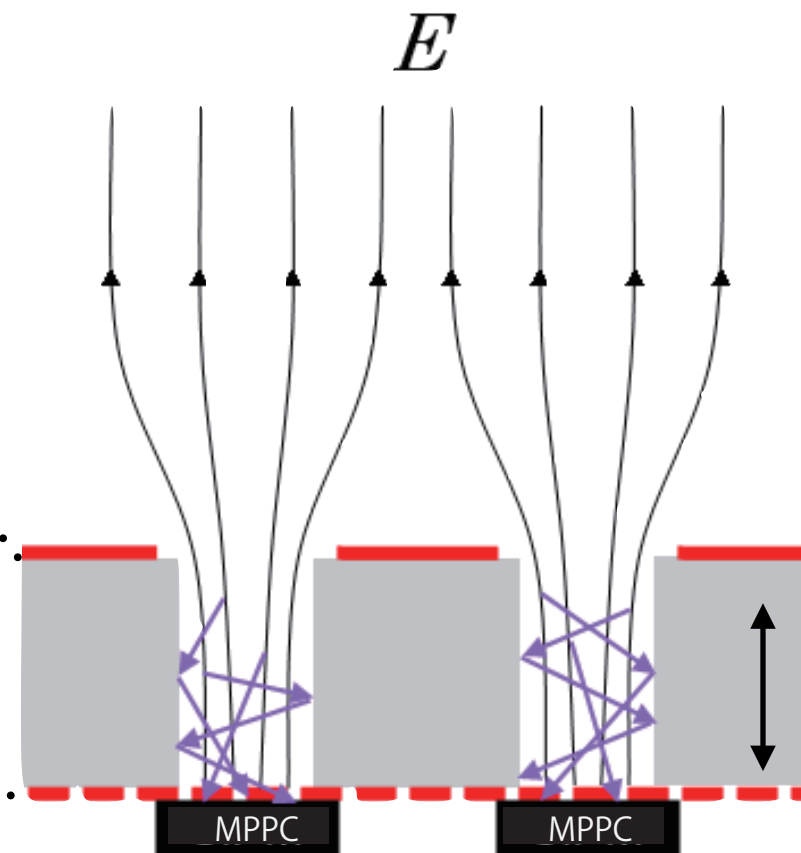
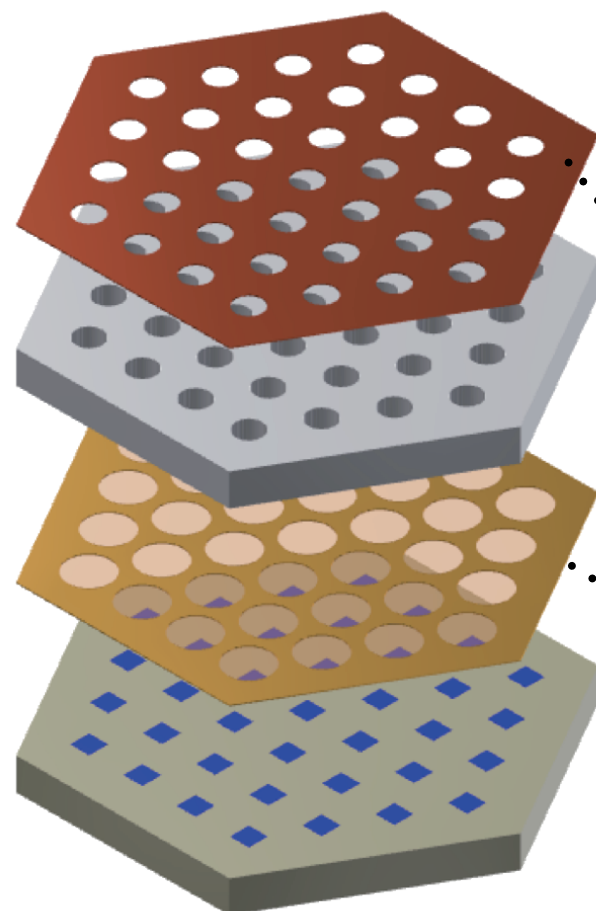


Anode Cu plate

PTFE insulator

Mesh electrode

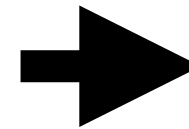
MPPC array



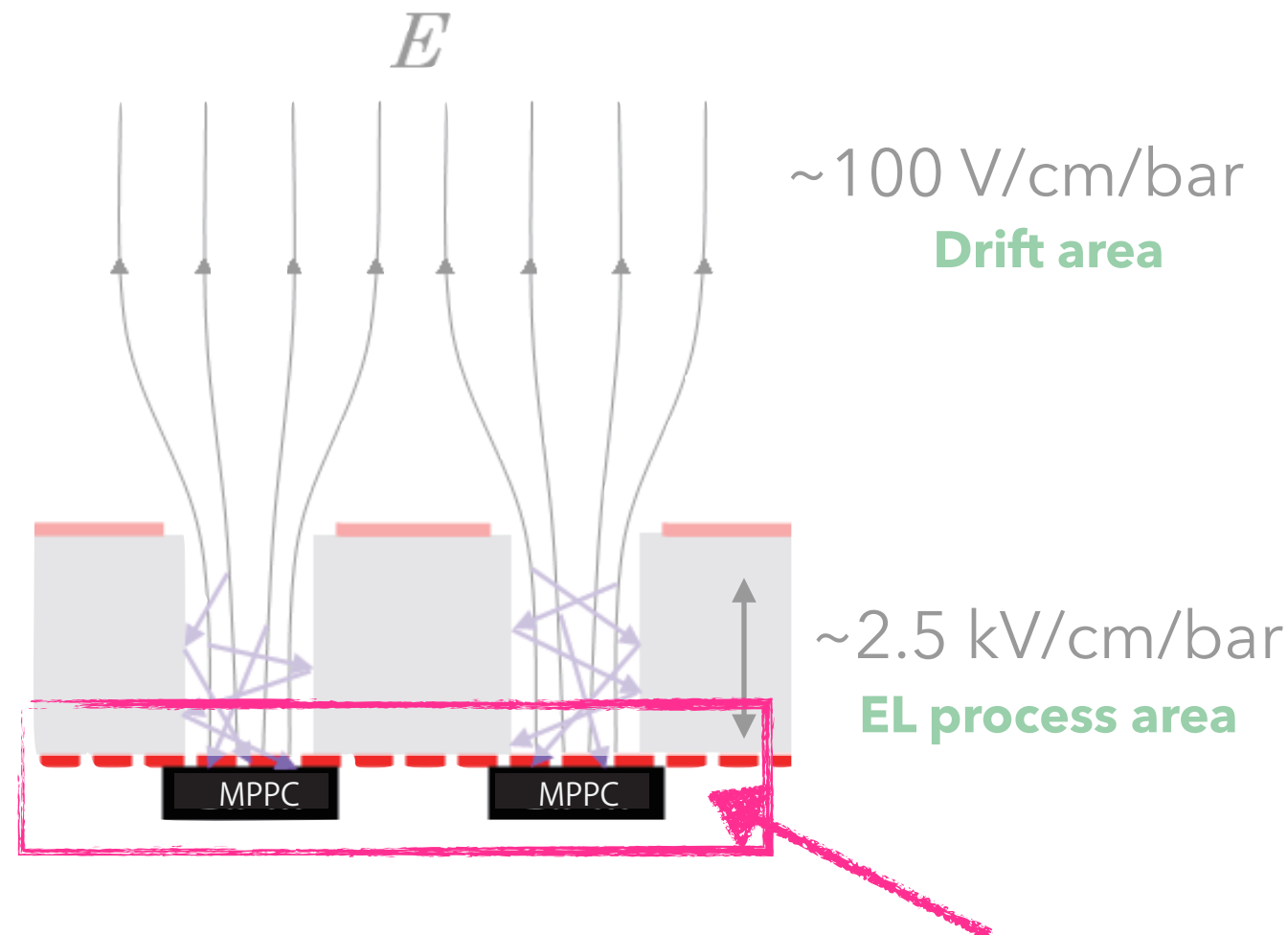
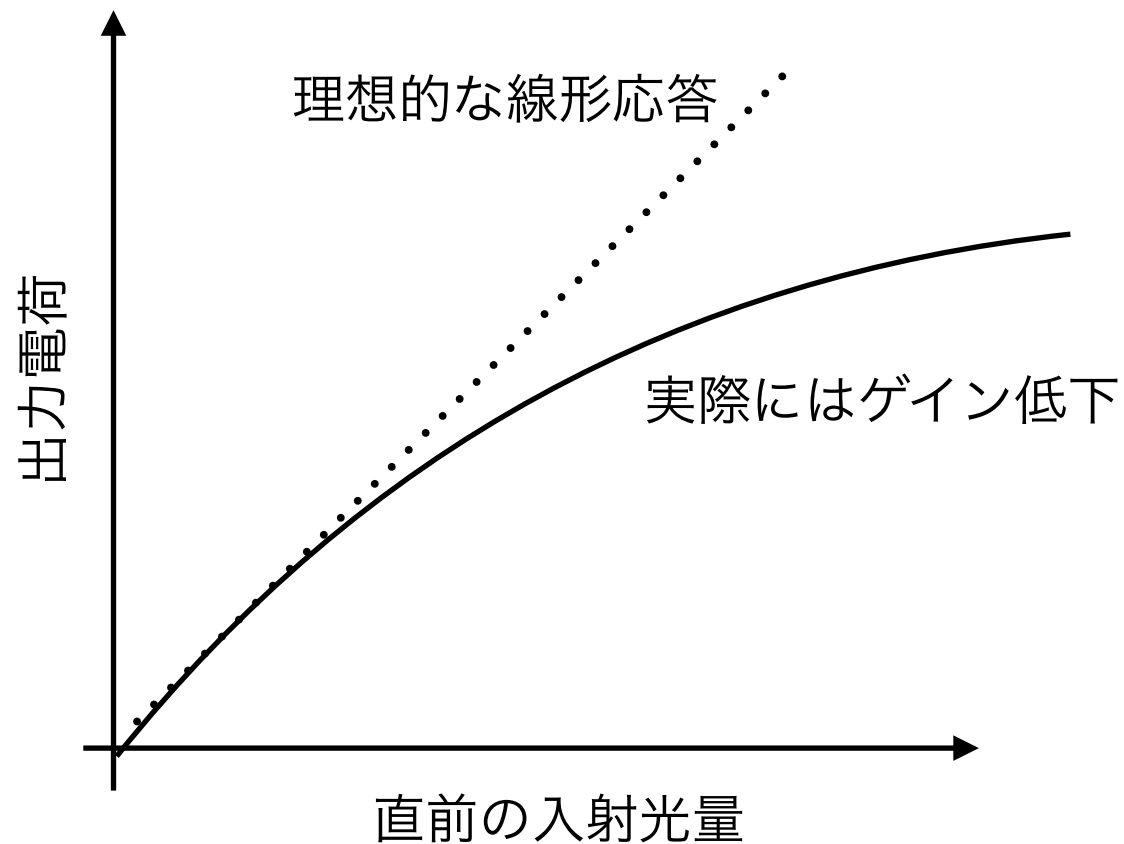
# 光検出器MPPPCの応答

## ISSUE

- 大光量イベントの後には回復時間が必要 => 補正関数の用意



中村の講演



# AXEL試作機と将来像

2015

⋮

2018

⋮

202?

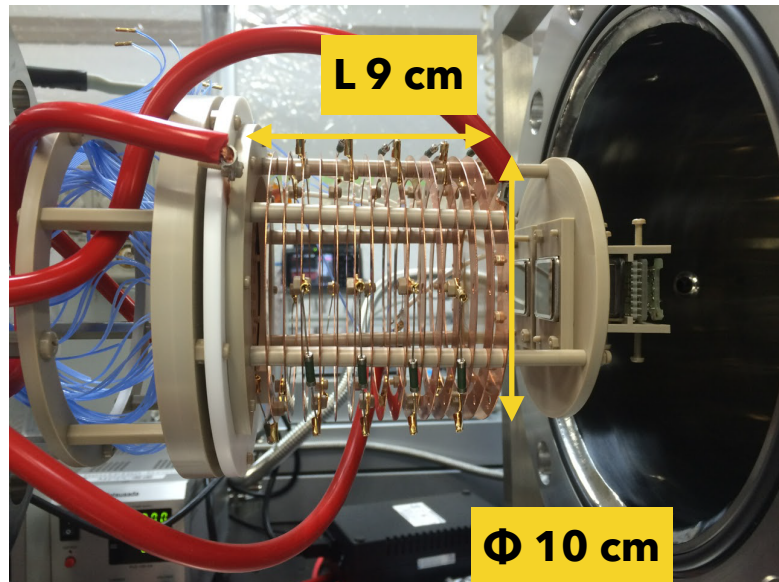
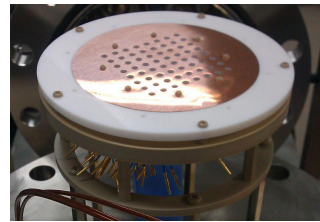
⋮

20??

⋮

**10L - size** (10g xenon)

- $\Delta E$ の確認
- ELCCの原理検証



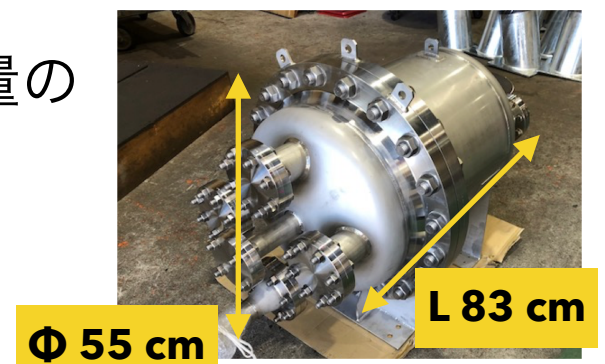
**3000L - size**  
(100 kg xenon)

- 地下測定開始

**Large - size**

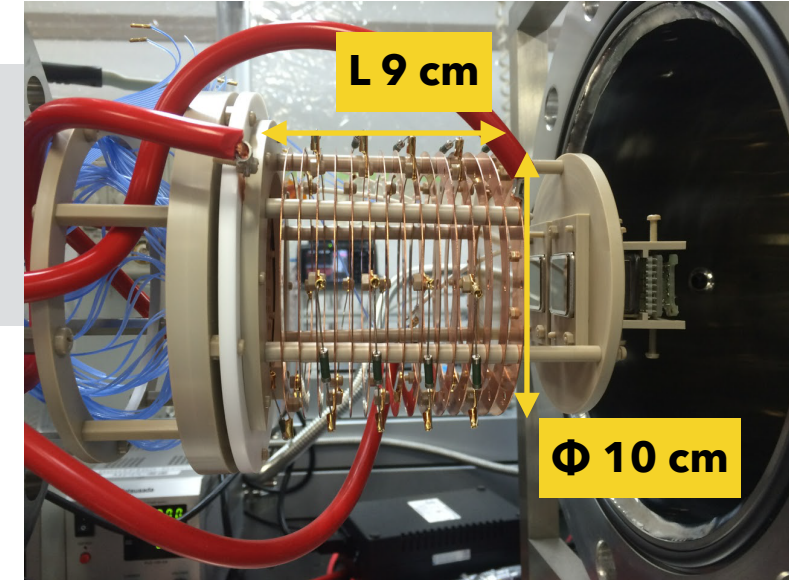
**180L - size** (8.6kg xenon)

- Q値での $\Delta E$ 確認
- 背景事象, 放射性物質混入量の  
評価
- Now constructing ...

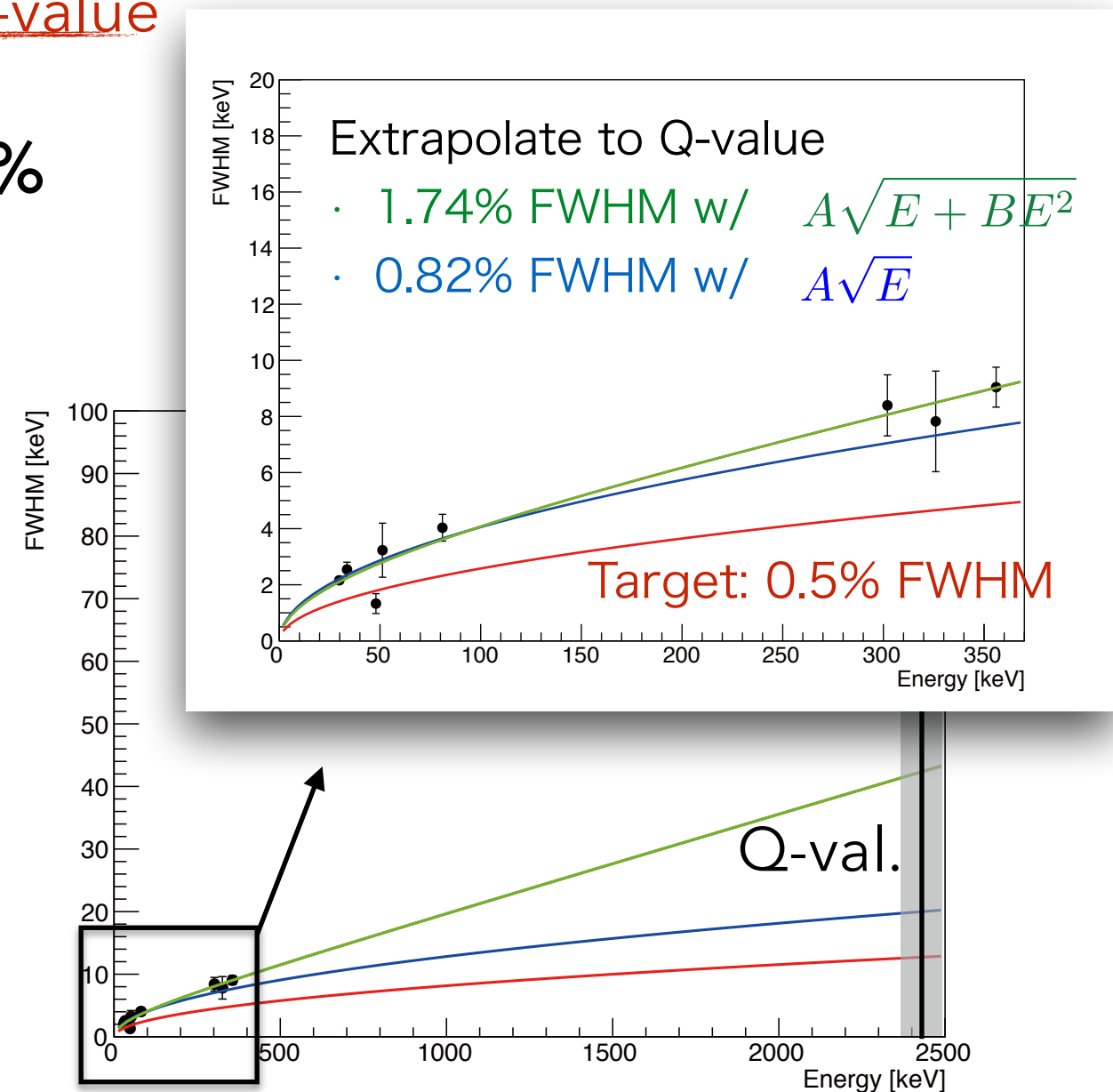
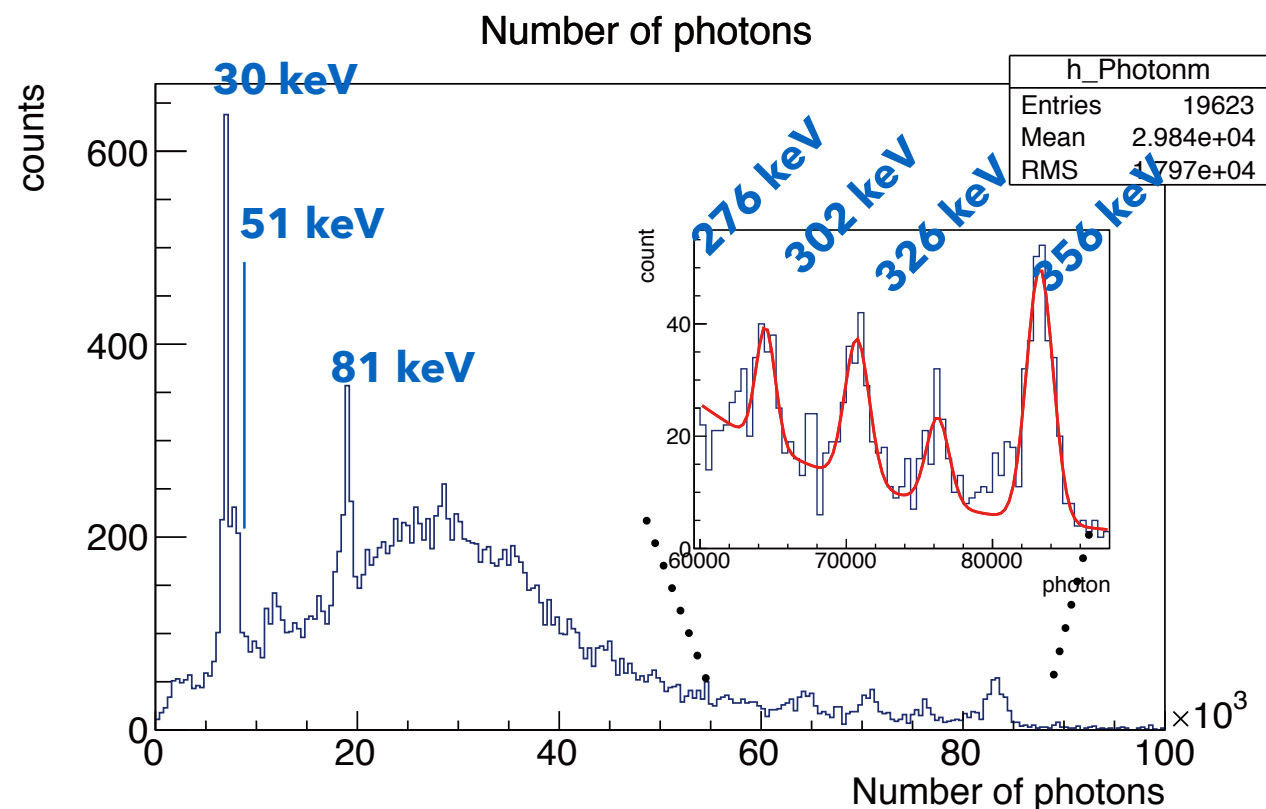


# 10L-prototype; $\Delta E$

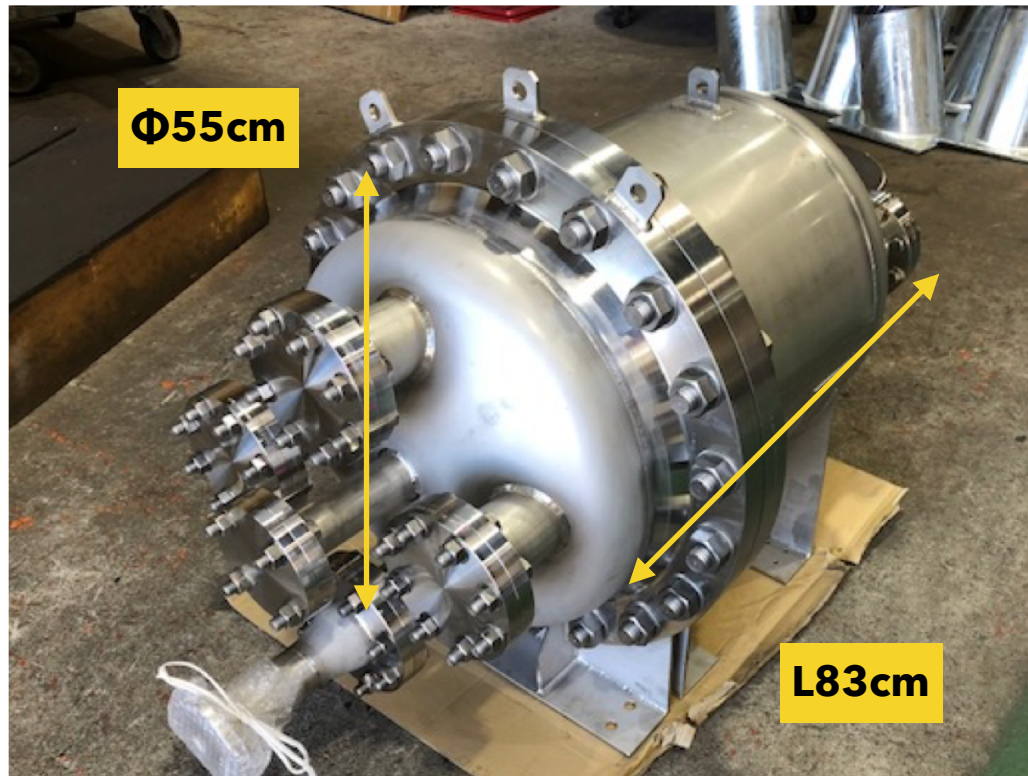
- $^{57}\text{Co}$ ,  $^{133}\text{Ba}$ などの線源でエネルギー分解能を評価
- Q値2.46 MeVはこのサイズでは収まりきらない
- 外挿して推定; 0.8~1.8% FWHM @ Q-value



でも想定より悪い分解能; cf ~0.5%

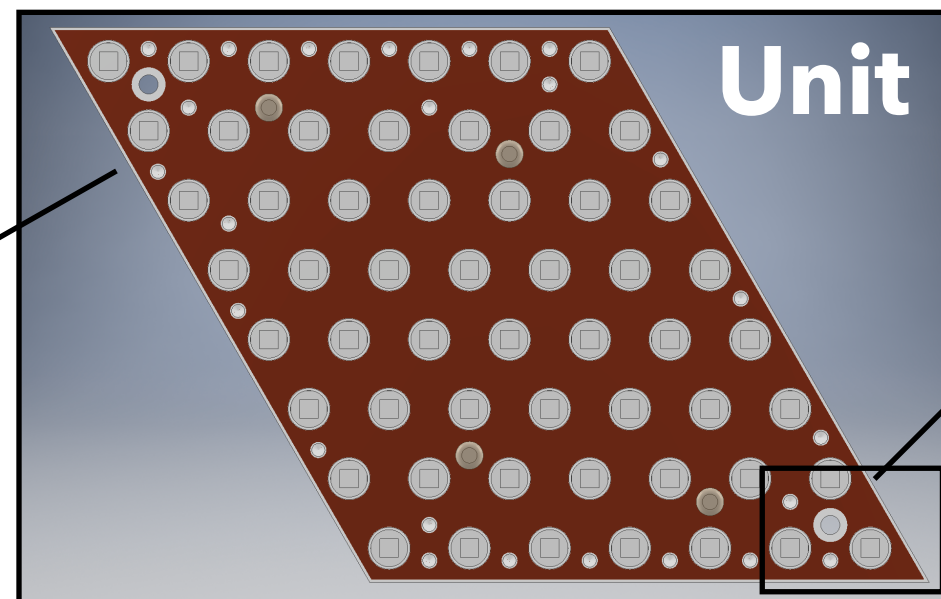
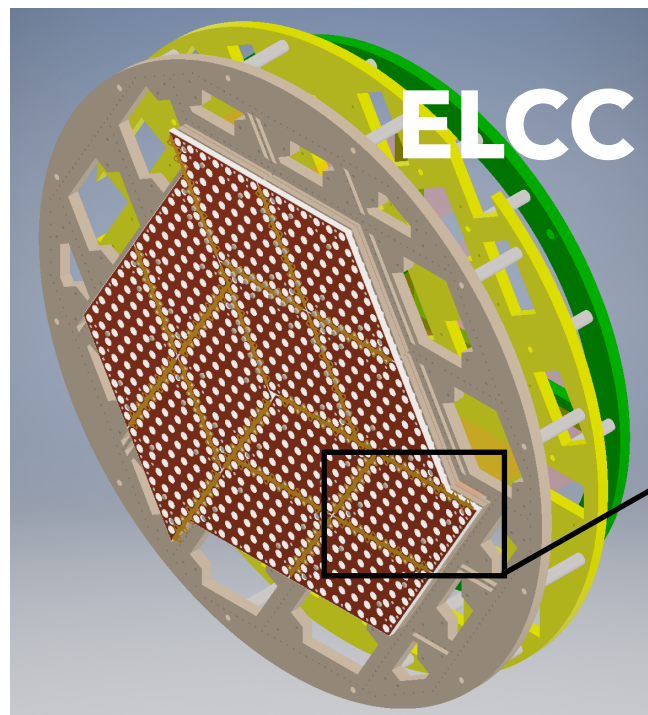


# 180L prototype detector



現在の試作機(~10L)の10倍の大きさ

- Q値でのエネルギー分解能評価
- Scalabilityの証明
- 地下測定前の原理検証
- 鋭意建設中... !!



# 背景事象 for $0\nu 2\beta$

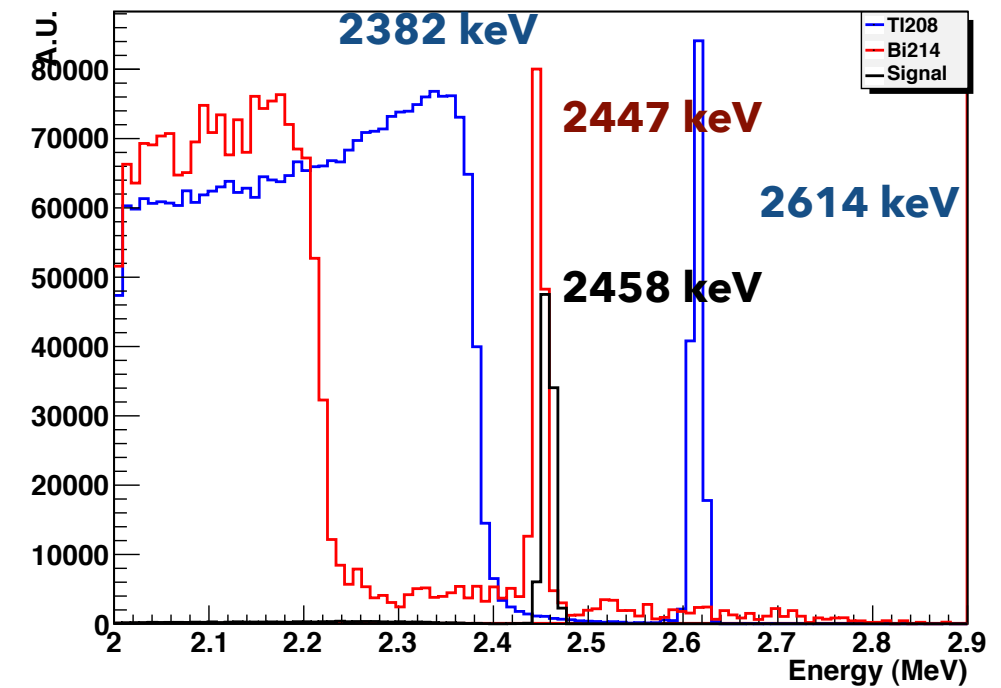
主に圧力容器から出てくる

仮に  $\Delta E \sim 0.5\%$  FWHMの分解能を達成しても、

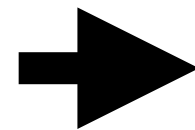
$^{214}\text{Bi}$   $\gamma$ -ray 2447keV

が 2458keVの $0\nu 2\beta$ の背景事象になる

arXiv:1106.3630v1 [physics.ins-det] from NEXT paper



飛跡で分離できるかも!?



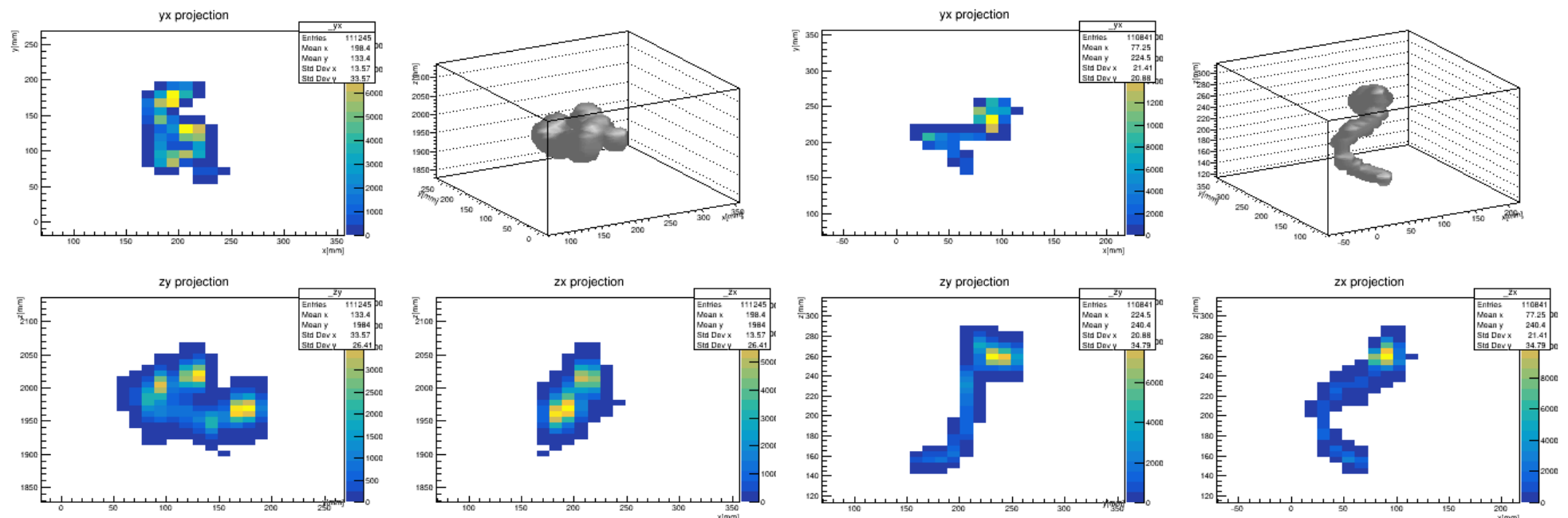
田中の講演

$0\nu 2\beta$  (double- $\beta$ )

$^{214}\text{Bi}$  (gamma-ray)

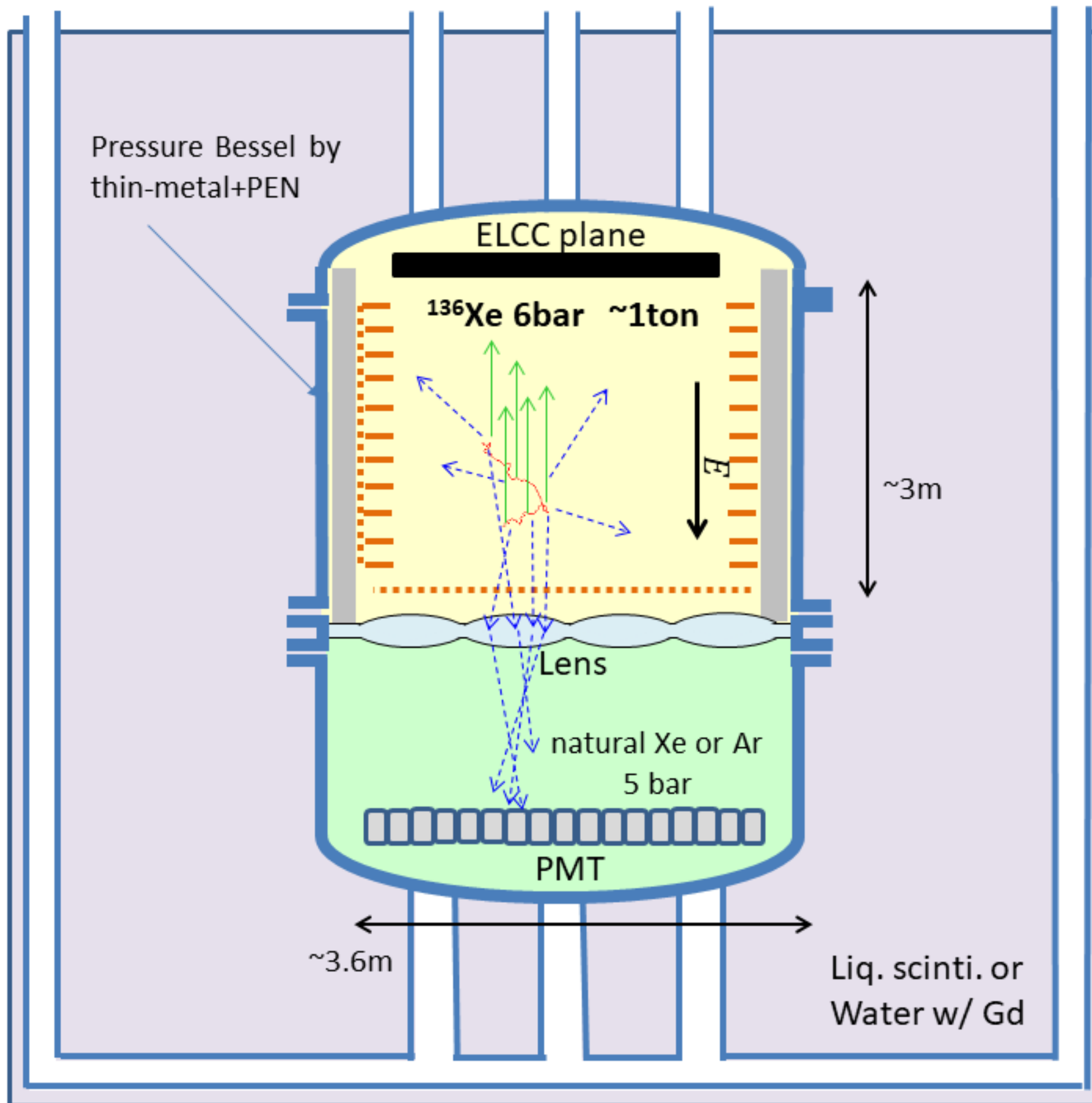
機械学習で

75evt/yr  $\Rightarrow$  6evt/yr



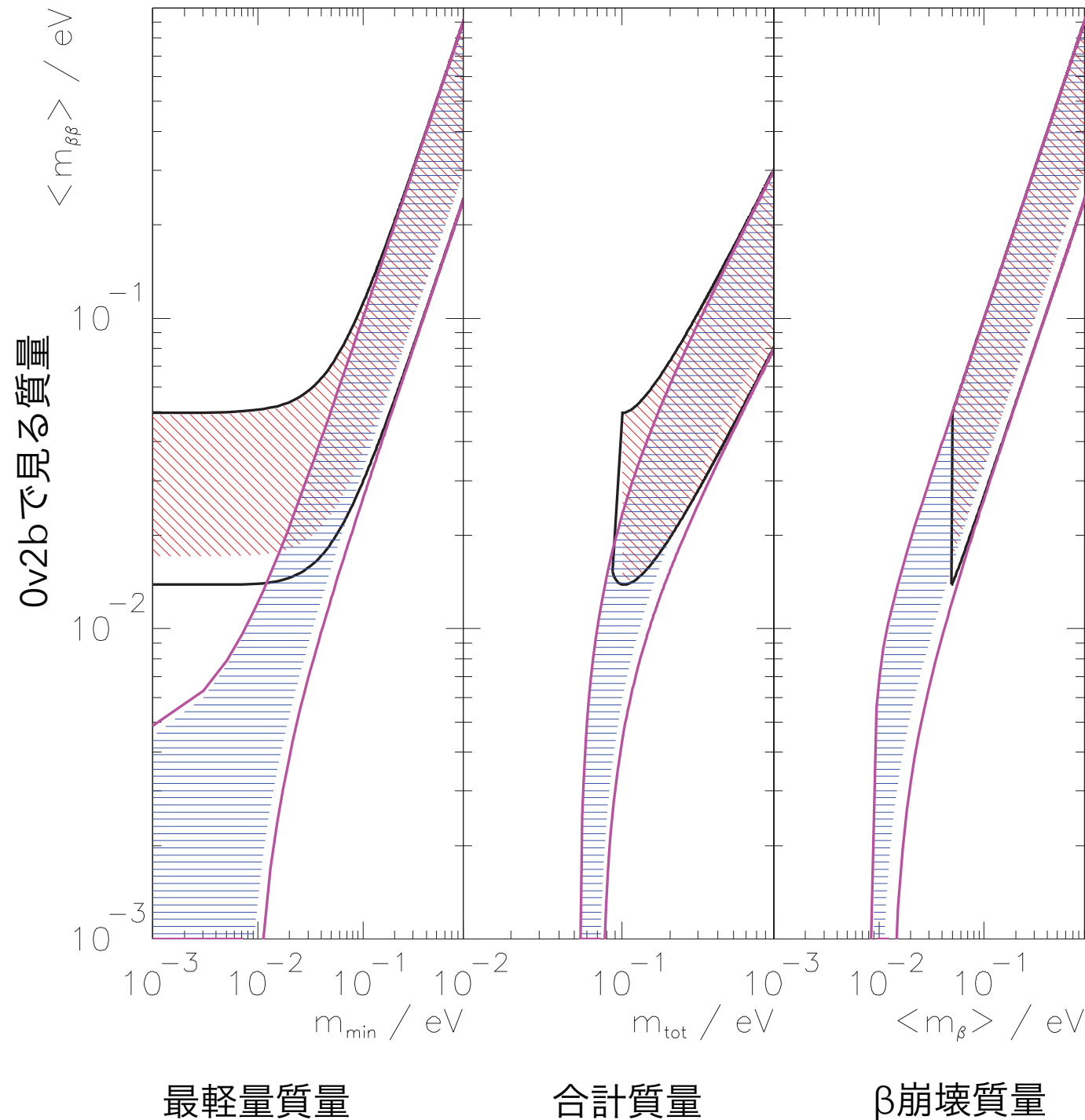
# まとめ

- 将来の二重ベータ崩壊探索(正常階層領域)には,
  - 大きい質量, 背景事象ゼロが重要
  - ⇒ 高エネルギー分解能, Scalability, 飛跡
- AXEL検出器
  - 高圧キセノンガスTPC
  - 独自の飛跡読み出しシステム; ELCC
  - 現在180Lサイズの試作機製作中; Q値の分解能評価



**Backup**

# 0n2b探索とニュートリノ質量階層構造



$$\left(T_{1/2}^{0\nu}\right)^{-1} = G^{0\nu} |M^{0\nu}|^2 \langle m_{\beta\beta} \rangle^2$$

$$\langle m_{\beta\beta} \rangle = \left| |U_{e1}^L|^2 m_1 + |U_{e2}^L|^2 m_2 e^{i\phi_2} + |U_{e3}^L|^2 m_3 e^{i\phi_3} \right|$$

- 0v2bの半減期から階層構造へ制限
- Majorana-CP位相と, ニュートリノ振動パラメータの不定性から幅を持つ
- 実験的にも各行列要素( $M^{0\nu}$ )の不定性から幅を持った制限になる
- Planck2018;  $\Sigma m_\nu < 0.12\text{eV}$

<https://arxiv.org/abs/1807.06209>

# Majorana



E. Majorana @ Italy  
1906/8/5 - 1938?

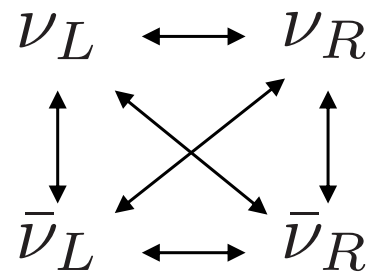
Majorana粒子の提唱者

1938年船上で行方不明となった

- C変換で対称なら質量項を持てる ( $\nu = \nu^c$ ; Majorana condition)

- $\nu_L = \text{anti-}\nu_R$  ではないことに注意

- これは当初の原子炉- $\nu$ 測定で粒子 $\neq$ 反粒子は分かっている



- ニュートリノの粒子/反粒子区別  $\rightarrow$  2次粒子の  $e^+e^-$
- 「C変換した粒子」が同一ということ

$$\mathcal{L}_{D+M} = m_D (\bar{\psi}_L \psi_R + \bar{\psi}_L^c \psi_R^c) + \underbrace{m_L \bar{\psi}_L^c \psi_L^c + m_R \bar{\psi}_R^c \psi_R^c}_{\text{Majorana mass term}} + h.c.$$

Majorana mass term

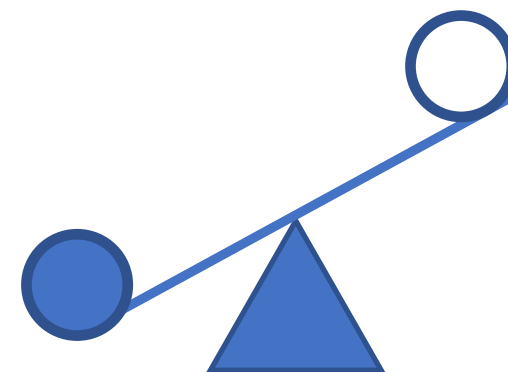
# シーソー機構

いわゆる “type-I see-saw”

右巻きマヨラナ質量が左巻き質量やディラック質量よりも

十分重い( $m_R \gg m_D, m_L \sim 0$ )とすると

$$\mathcal{L}_{D+M} = \begin{pmatrix} \bar{\nu} & \bar{N} \end{pmatrix} \begin{pmatrix} m_\nu & 0 \\ 0 & m_N \end{pmatrix} \begin{pmatrix} \nu \\ N \end{pmatrix}$$
$$\longrightarrow \begin{pmatrix} \bar{\nu} & \bar{N} \end{pmatrix} \begin{pmatrix} \frac{m_D^2}{m_R} & 0 \\ 0 & m_R \end{pmatrix} \begin{pmatrix} \nu \\ N \end{pmatrix}$$

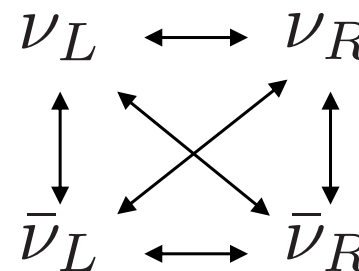


右巻き質量を重くすることで左巻きが極端に軽くなる

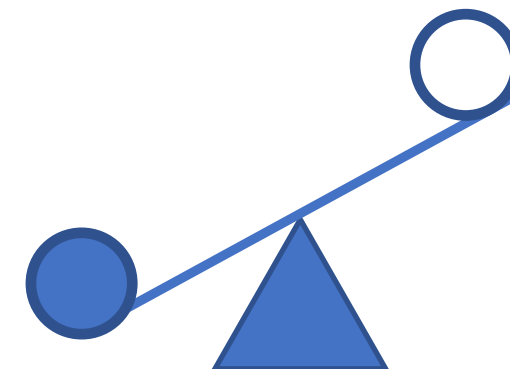
# 0ν2βが発見できたら

- ニュートリノがマヨラナである直接的証拠

- $\nu = \nu^c$  (Majorana Condition)
- シーソー機構から極小質量を証明

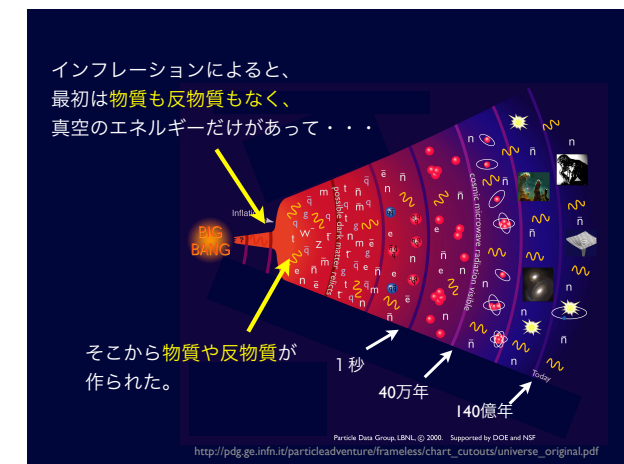


$$m_L \simeq \frac{m_D}{m_R^2}$$

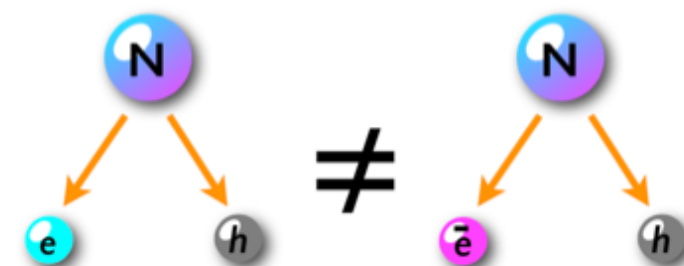


- 宇宙物質優勢のシナリオ; レプトジェネシス

- $T > M_R$ ; 宇宙の温度がまだ高い
- $T \sim M_R$ ; 重い右巻きニュートリノが崩壊  $\Delta L \neq 0$
- スファレロン過程 ( $B-L=0$ );  $\Delta L \neq 0 \Rightarrow \Delta B \neq 0$ 
  - レプトン数の破れがバリオン数の破れに



## レプトジェネシス



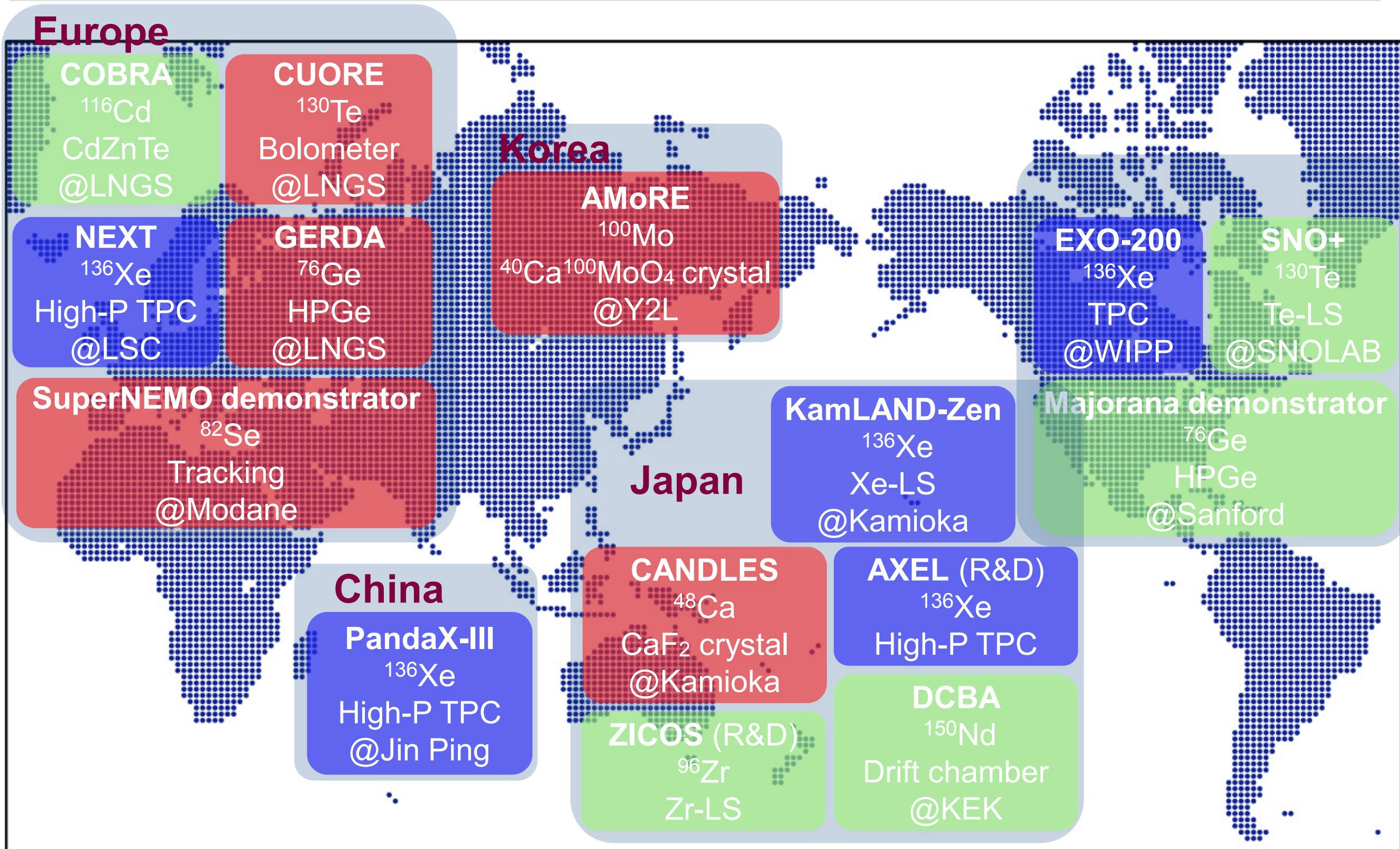
※レプトジェネシスとマヨラナニュートリノに関して詳しく知りたい人には濱口さんの講演資料

([http://www.lowbg.org/ugnd/workshop/sympo\\_all/201705\\_Ookayama/slides/21pm/201705\\_Ookayama\\_Hamaguchi.pdf](http://www.lowbg.org/ugnd/workshop/sympo_all/201705_Ookayama/slides/21pm/201705_Ookayama_Hamaguchi.pdf))

# 世界の0ν2β探索

※新学術「地下素核」2017領域研究会, 吉田さんのスライドから

([http://www.lowbg.org/ugnd/workshop/sympo\\_all/201705\\_Ookayama/program.html](http://www.lowbg.org/ugnd/workshop/sympo_all/201705_Ookayama/program.html))



# 二重ベータ崩壊各種

Nucl. Part. Phys. 39 085103 (2012)

核種	Q値[keV]	Nat. [%]	Cost* [M\$/ton]	$T_{1/2}^{2\nu}$ [yr]	メリット	デメリット	実験
$^{48}\text{Ca}$	4271	0.187	> 1000	$4.4 \times 10^{19}$	最大Q値	低NA, 濃縮難	CANDLES
$^{76}\text{Ge}$	2040	7.7	~80	$1.6 \times 10^{21}$	長T2v		GERDA, MAJORANA
$^{82}\text{Se}$	2995	9.2	~120	$9.6 \times 10^{19}$			NEMO-3, Super-NEMO
$^{96}\text{Zr}$	3350	2.8		$2.4 \times 10^{19}$	Q値大		ZICOS
$^{100}\text{Mo}$	3034	9.6	~80	$7.1 \times 10^{18}$	Q値大	短T2v	AMoRE, NEMO-3
$^{124}\text{Sn}$	2228	5.64	~300				
$^{116}\text{Cd}$	2802	7.5	~180	$2.8 \times 10^{19}$			COBRA
$^{130}\text{Te}$	2533	34.5	20	$7.0 \times 10^{20}$	高NA		CUORE(-0), SNO+
$^{136}\text{Xe}$	2457	8.9	5~10	$2.3 \times 10^{21}$	長T2v, 容易濃縮		KamLAND-Zen, PANDAX-III, EXO, NEXT, AXEL
$^{150}\text{Nd}$	3367	5.6	> 300	$9.1 \times 10^{18}$	Q値大	短T2v, 濃縮難	DCBA, NEMO

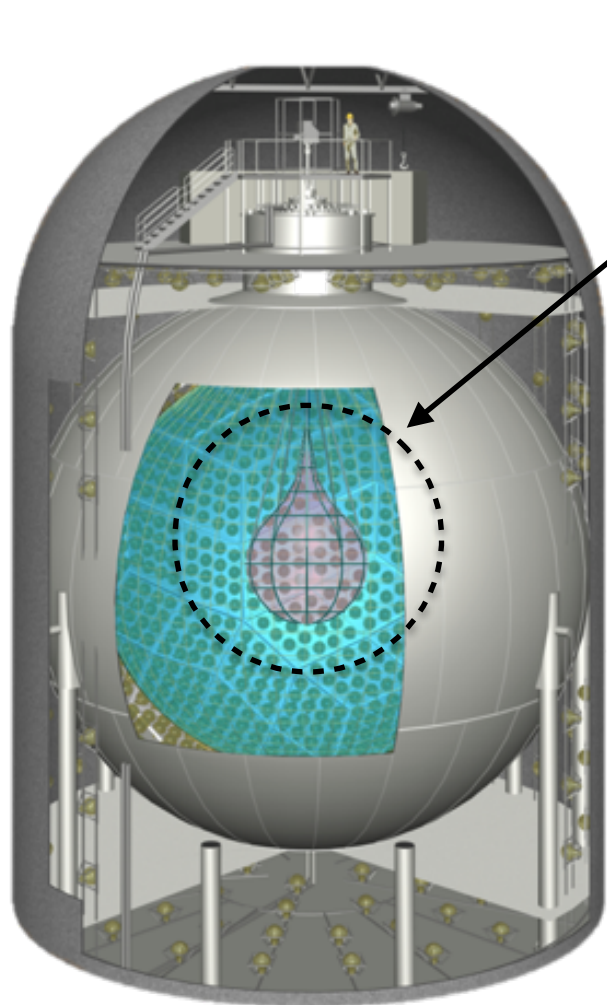
# KamLAND-Zen 400

(KamLAND-Zero neutrino double-beta decay search)

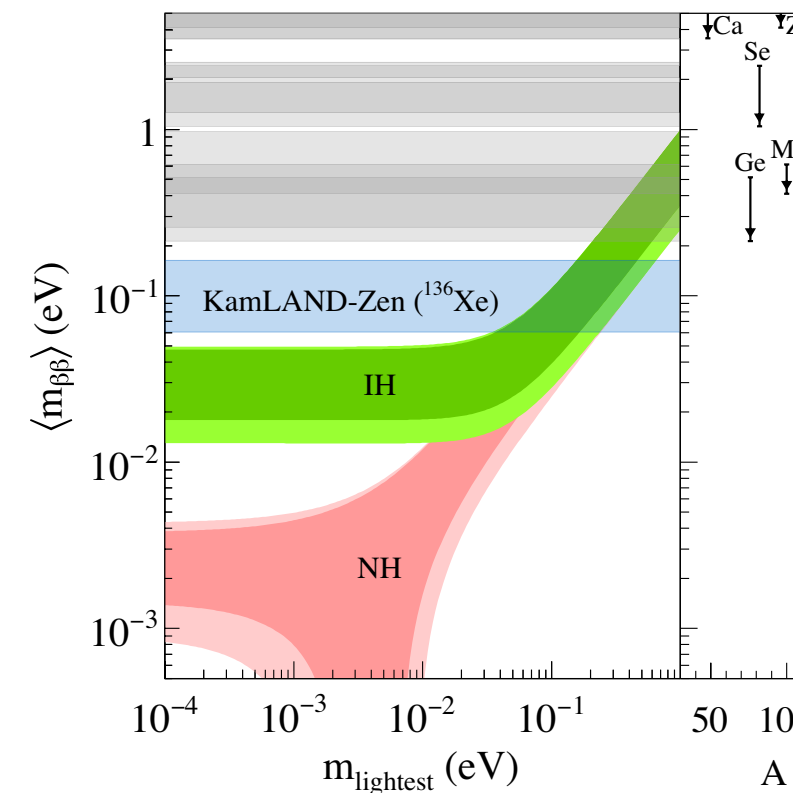
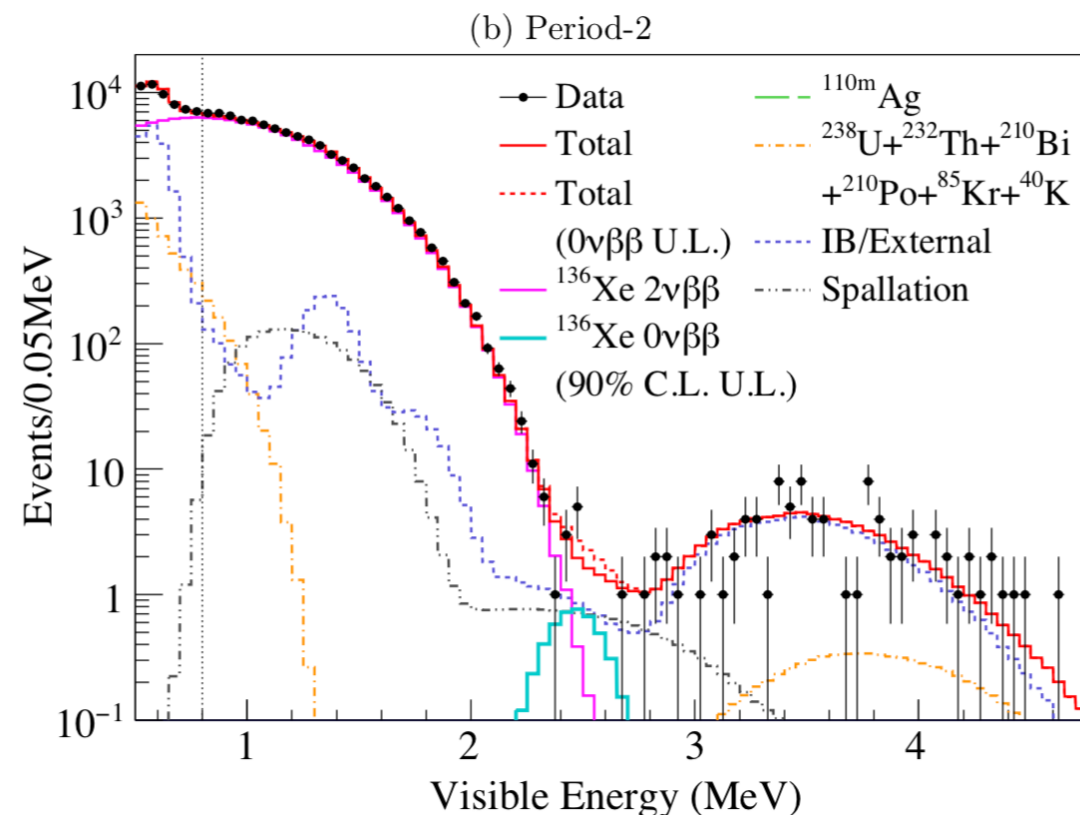
@ Kamioka, Japan

• <https://arxiv.org/abs/1605.02889>

- Use  $^{136}\text{Xe}$  loaded liquid-scintillator ; ~380kg
- R~1.5m inner-balloon is a target volume



- $\sigma/E = 6.6\%/\sqrt{E}$
- BG;  $2\nu 2b$ ,  $^{10}\text{C}$ ,  $^{214}\text{Bi}$ ,  $^{110\text{m}}\text{Ag}$
- $T > 1.07 \times 10^{26}$  yr (90% C.L.)  $\Leftrightarrow$  61-165meV



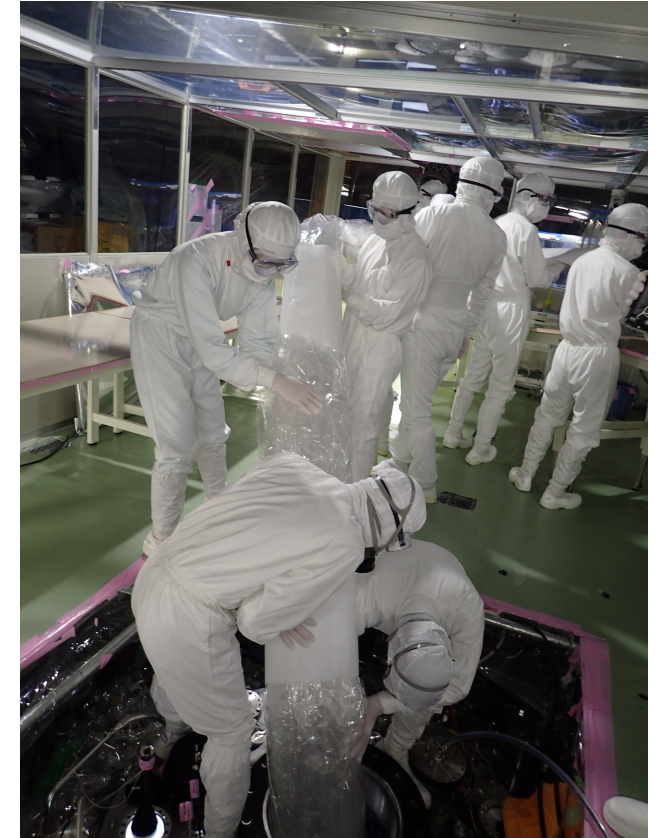
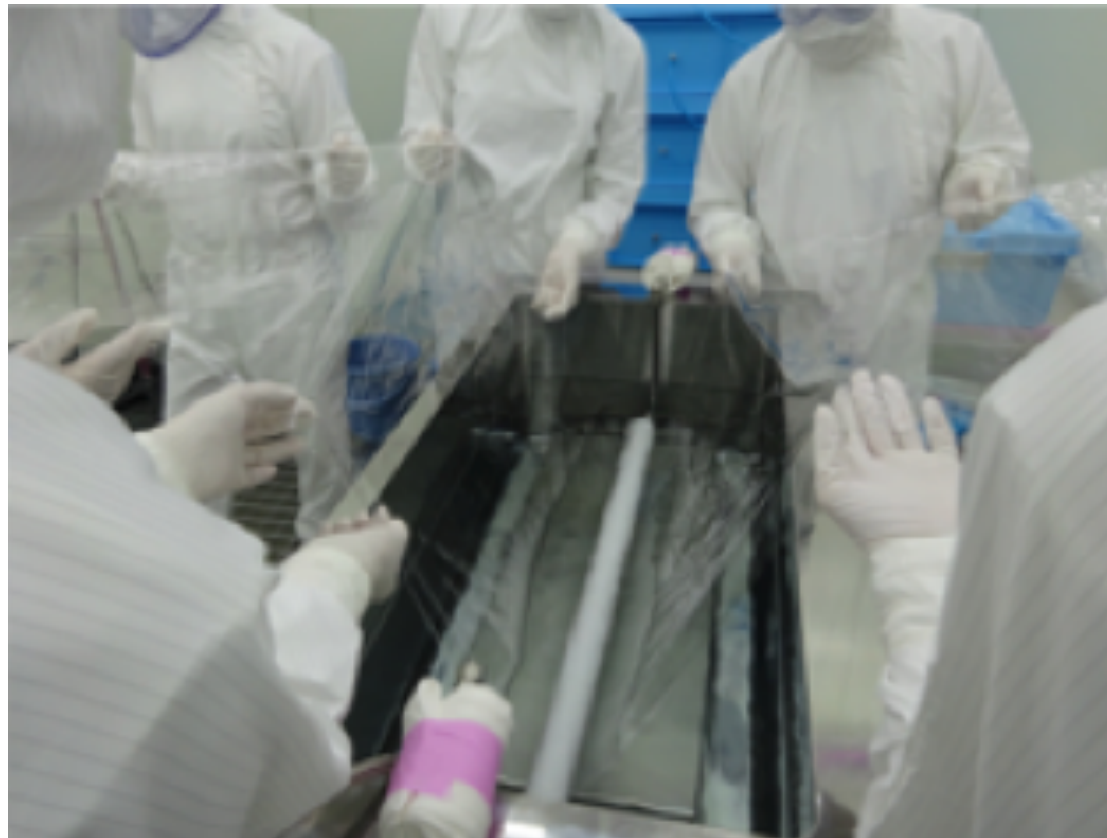
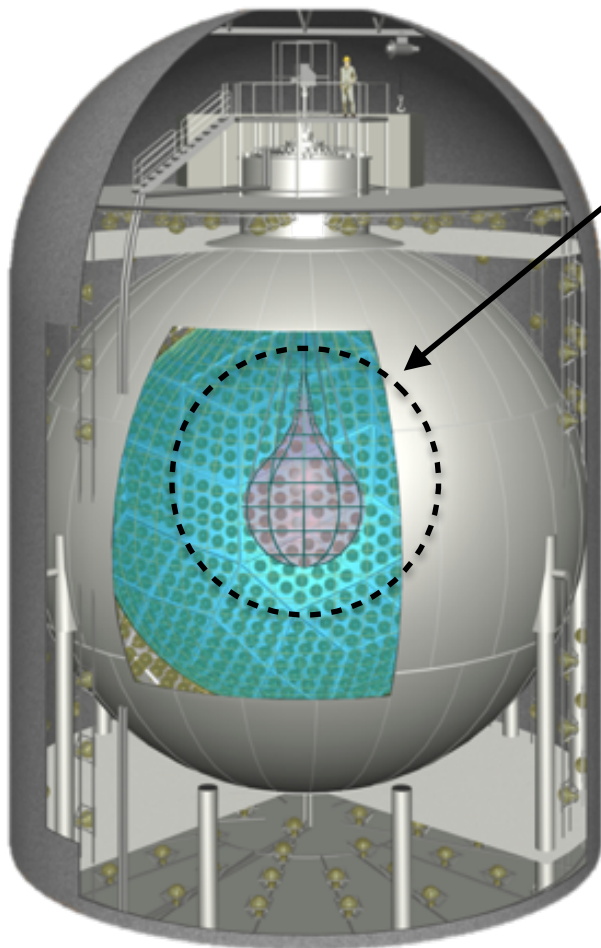
# KamLAND-Zen 800

(KamLAND-Zero neutrino double-beta decay search)

@ Kamioka, Japan

- Use  $^{136}\text{Xe}$  loaded liquid-scintillator ; ~780kg
- R~1.9m inner-balloon is a target volume

- Re-fabrication of the inner-balloon in order to suppress  $^{214}\text{Bi}$  background on the film
- It will start from the end of 2018
- The goal set to be ~ 40meV



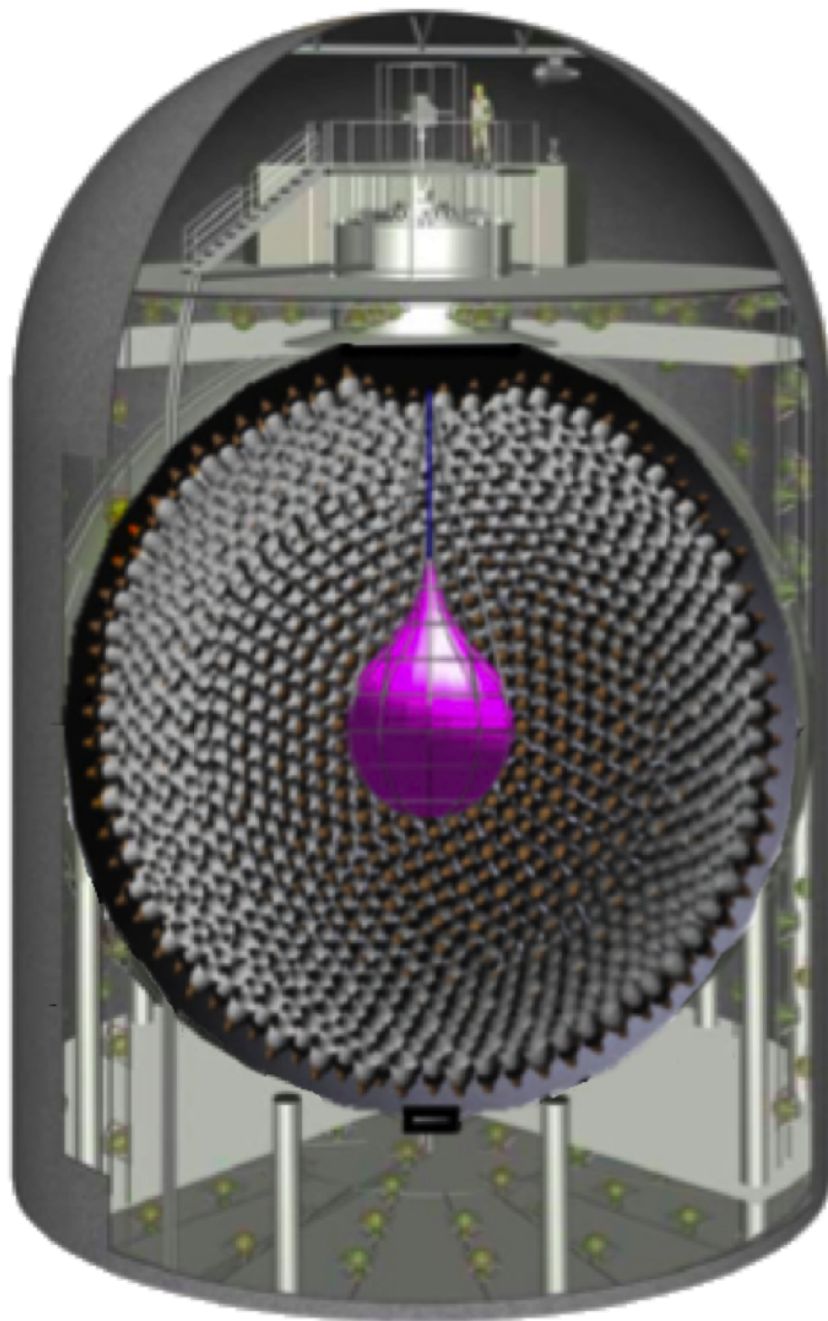
# KamLAND2-Zen

(KamLAND2-Zero neutrino double-beta decay search)

@ Kamioka, Japan

*Future project*

- Use  $^{136}\text{Xe}$  loaded liquid-scintillator ; ~1000 kg
- R~1.9m inner-balloon is a target volume



**“KamLAND2” is a future detector upgrade plan**

- For  $\Delta E$  improvement;
  - High-Q.E. PMT
  - Winstone cone mirror
  - New LAB-based LS
- The goal set to be ~ 20 meV

# CANDLES-III

@ Kamioka, Japan

(**CA**lcium fluoride for studies of **N**eutrino and **D**ark matters by **L**ow **E**nergy **S**pectrometer)

## Background-free detector (?)

(High Q-value than other isotopes)

- $\text{CaF}_2$  scintillator;  $3.2\text{kg} \times 96$  crystals
- $^{48}\text{Ca}$ ;  $Q=4.27\text{MeV}$
- Liquid scintillator; active-veto

Using a pulse shape difference  
btw  $\text{CaF}_2 \Leftrightarrow \text{LS}$

## Critical Problem

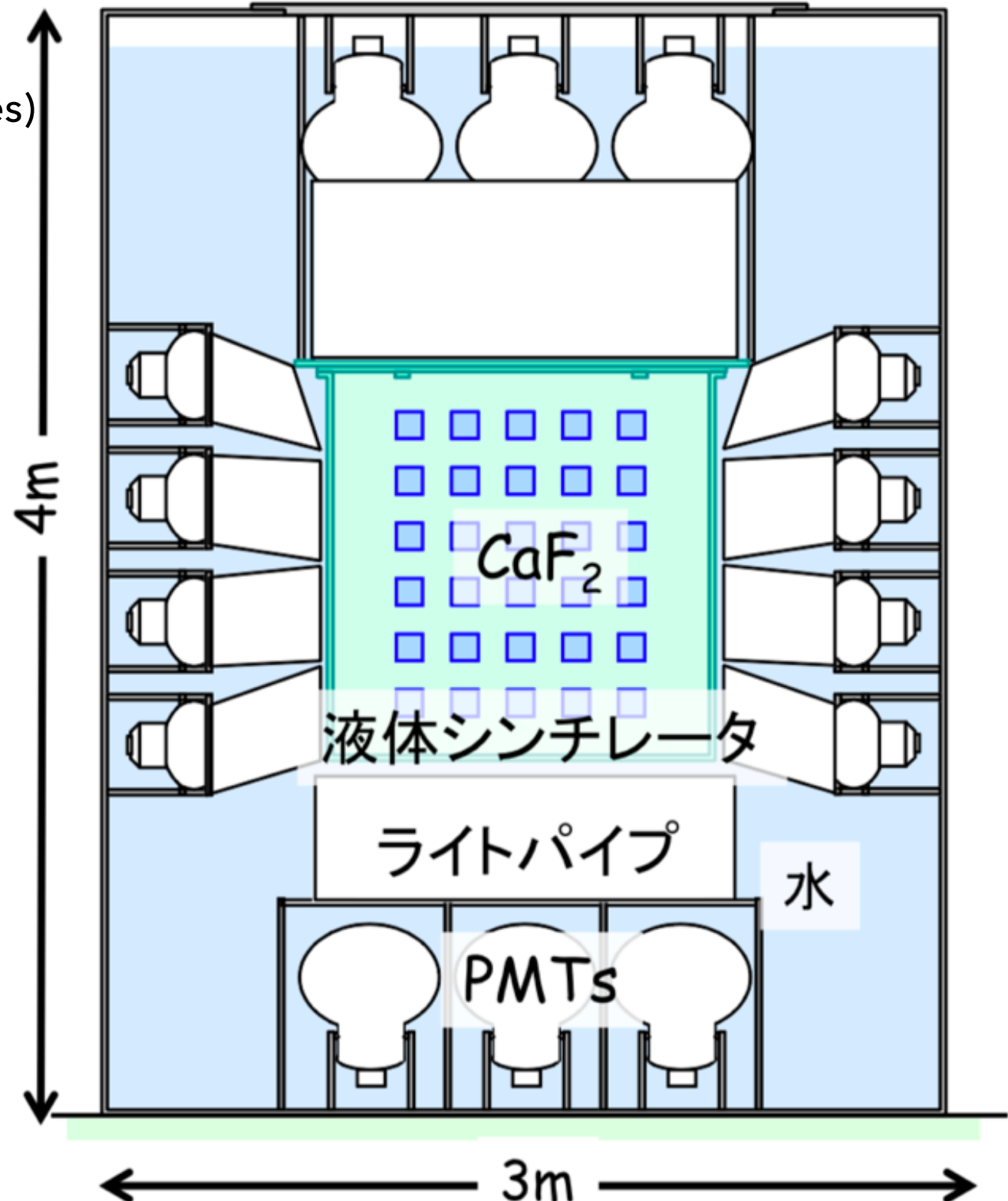
- Too small natural abundance
- Difficult of enrichment

## In the future

- Improve the enrichment
- Use "Scintillating Bolometer" ?

## Preliminarily

$$T_{1/2}^{0\nu} > 0.33 \times 10^{23} \text{ yr (90\%C.L.)}$$

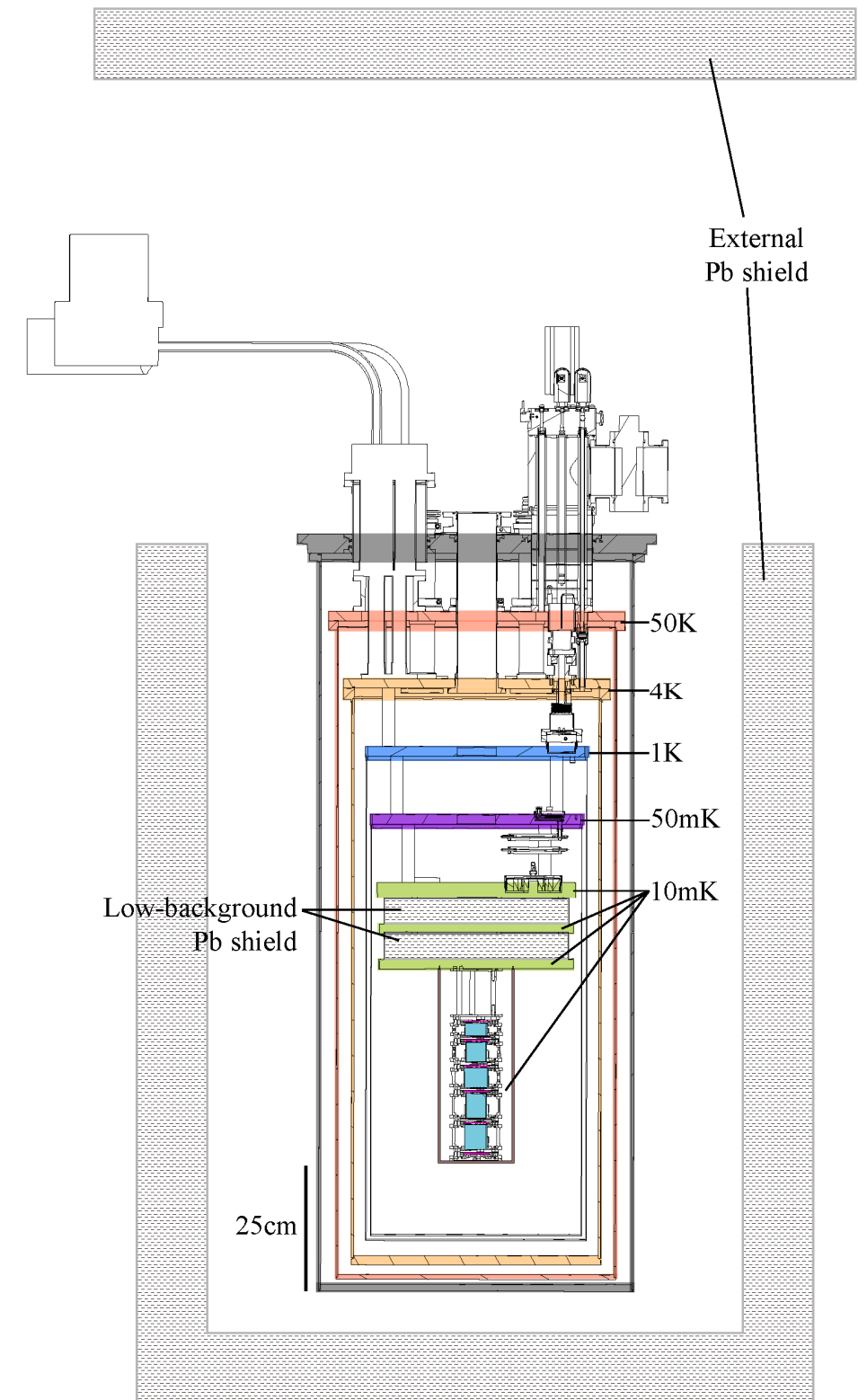
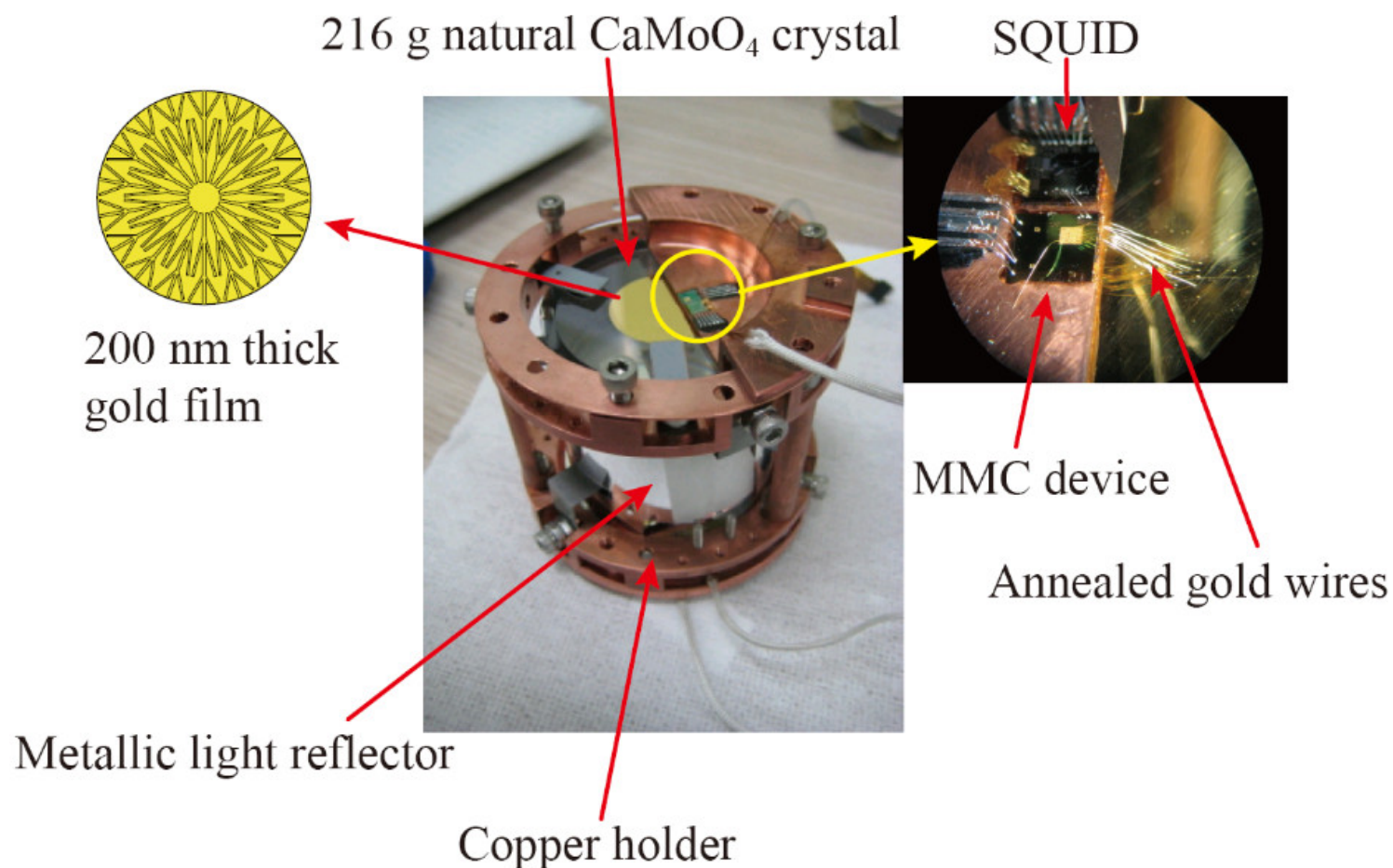


# AMoRE @ YangYang, Korea

(Advanced **Mo** Rare process **E**xperiment)

• <https://arxiv.org/abs/1512.05957>

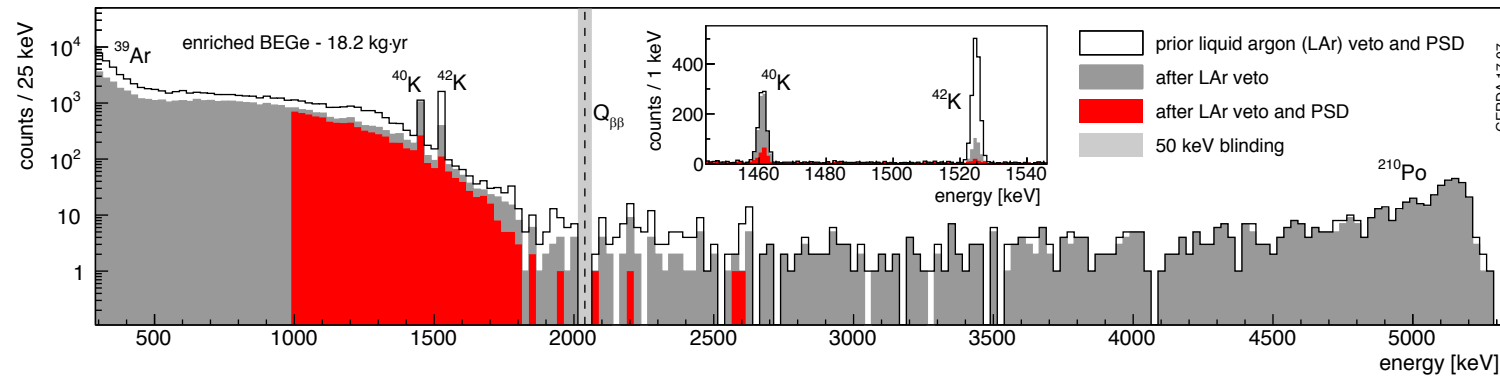
- Target;  $^{100}\text{Mo}$  ( $Q=3034\text{keV}$ ); 1.5-5kg
- Detector;  $^{40}\text{Ca}^{100}\text{MoO}_4$  scinti-bolometer
- MMC photon sensor;  $\Delta E=5\text{keV}$  @ 3MeV



# GERDA @ LNGS, Italy

(GERmanium Detector Array)

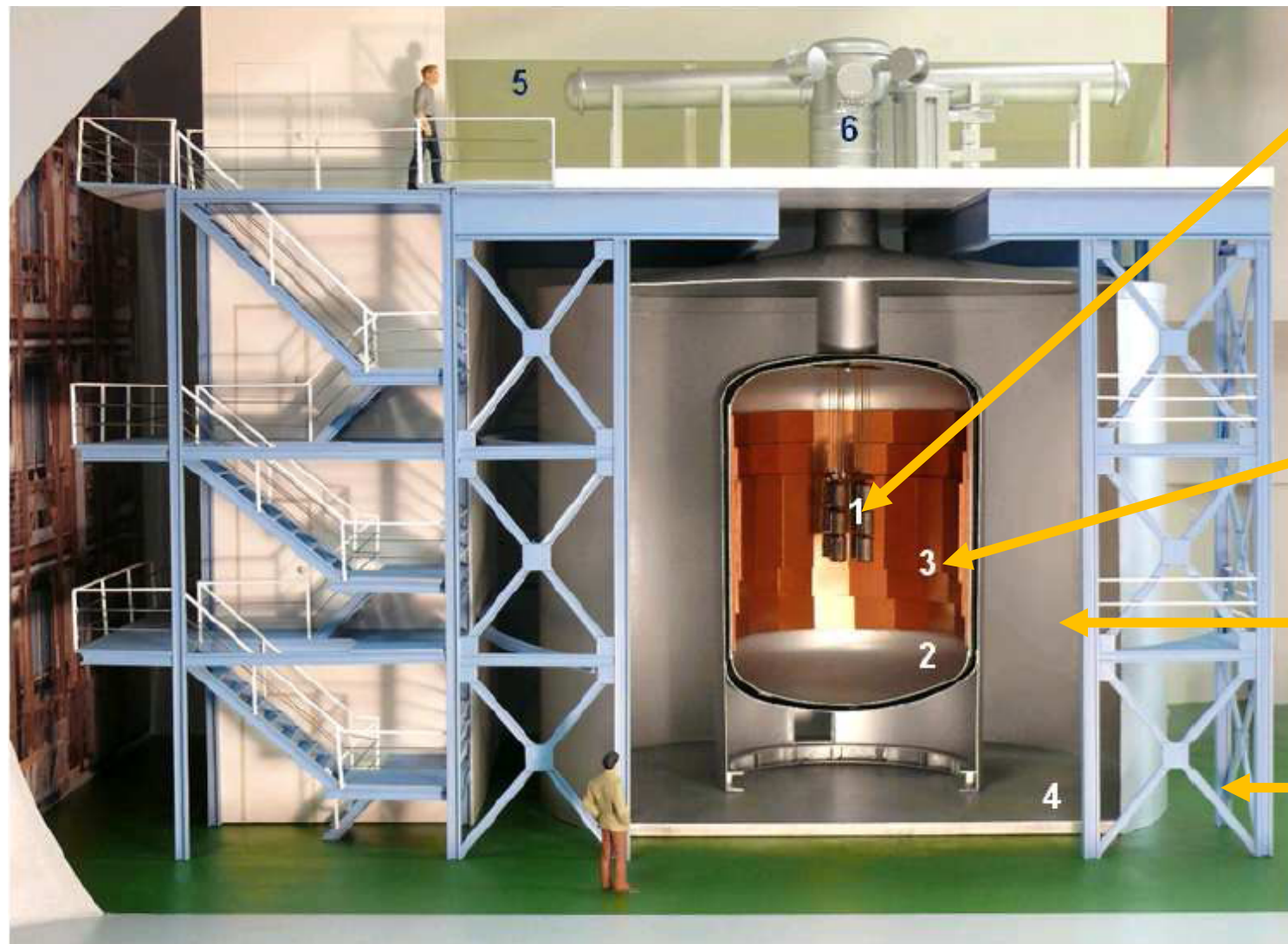
- <https://arxiv.org/abs/1212.4067>
- <https://arxiv.org/abs/1703.00570>
- <https://arxiv.org/abs/1803.11100>



**Phase-II started from 2015**

*Background-free detector*

(High energy resolution)



**87% enriched <sup>76</sup>Ge**

Total 31kg

Q=2039keV

ΔE ~ 3-4 keV @ Q-value (FWHM)

**Cryostat**

**64m<sup>3</sup> LAr**

for cooling & shielding

**590m<sup>3</sup> Water**

for muon veto

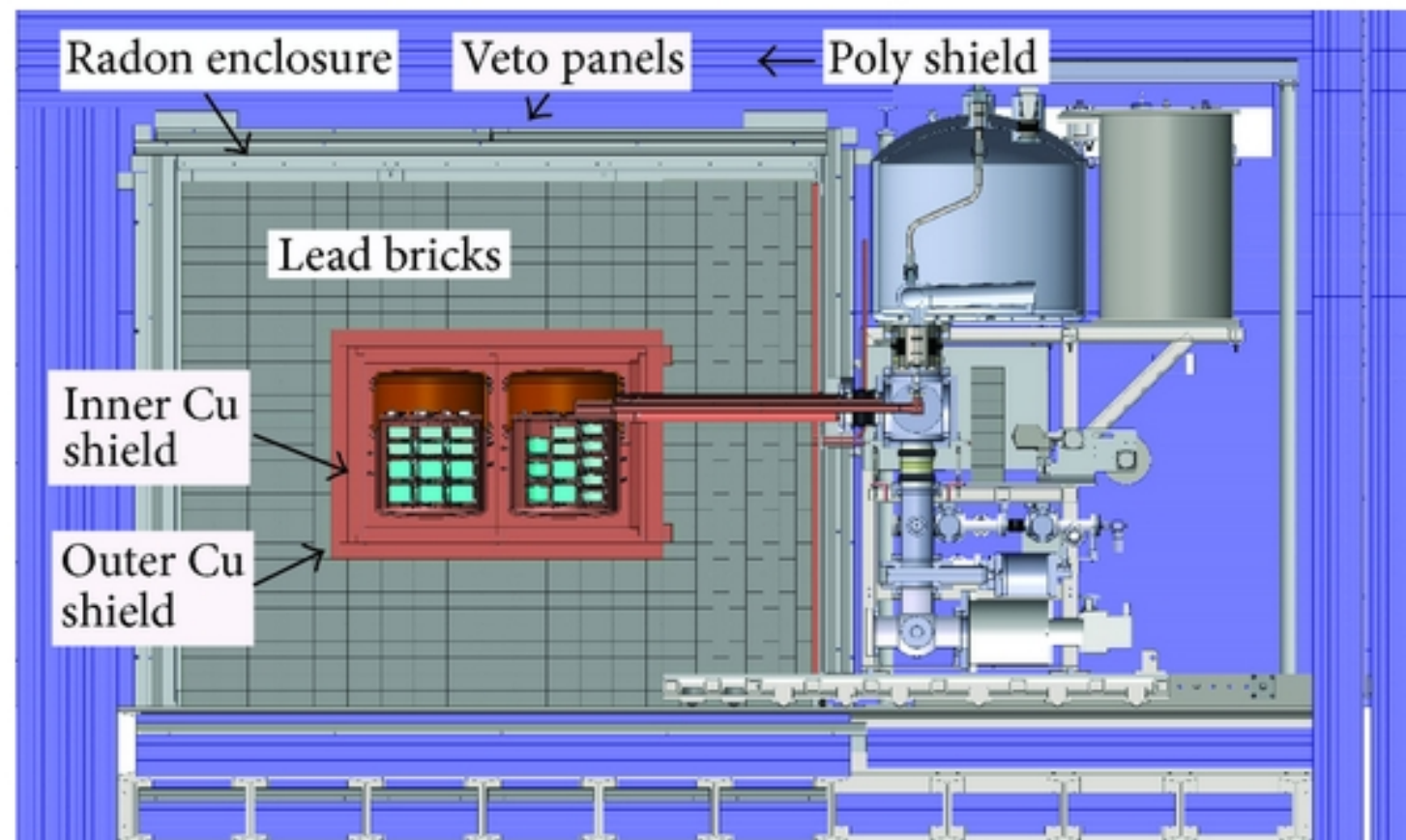
# MAJORANA @ SURF

(The MAJORANA DEMONSTRATOR)

• <https://arxiv.org/abs/1710.11608>  
• <https://www.hindawi.com/journals/ahep/2014/365432/>

- 30kg of 86% enriched  $^{76}\text{Ge}$
- $\Delta e = 0.16\%$  (4keV) @ 2039keV
- **P-type Point-Contact (PPC)** Germanium detectors

*Background-free detector*



# LEGEND

(Large Enriched Germanium Experiment for Neutrinoless  $\beta\beta$  Decay)

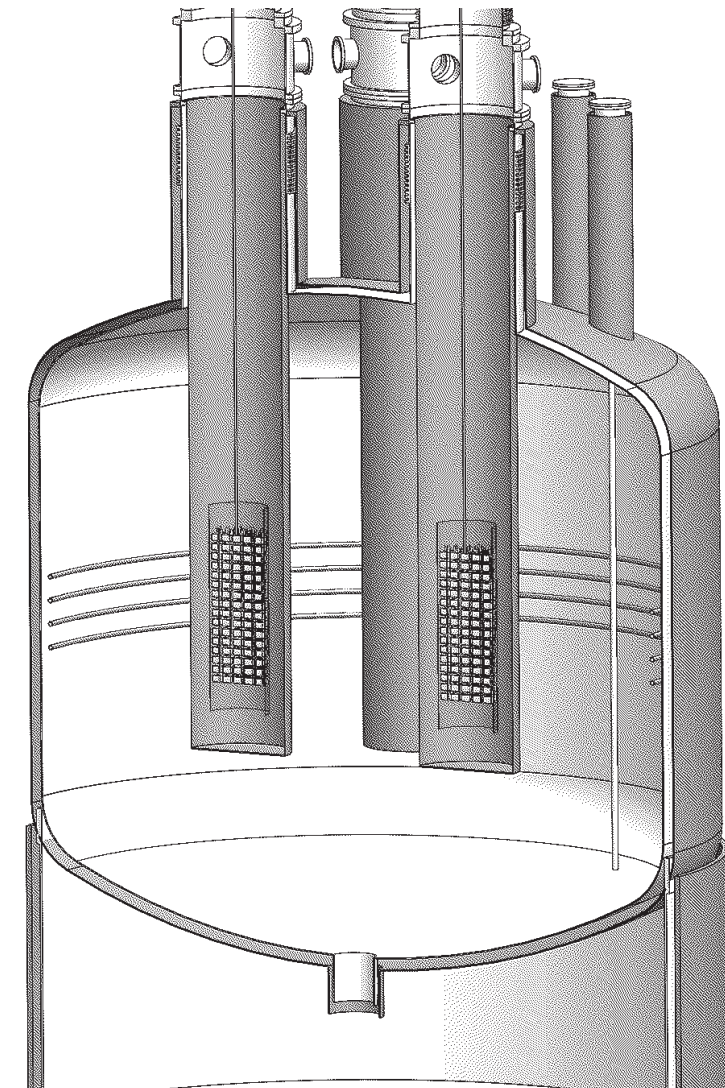
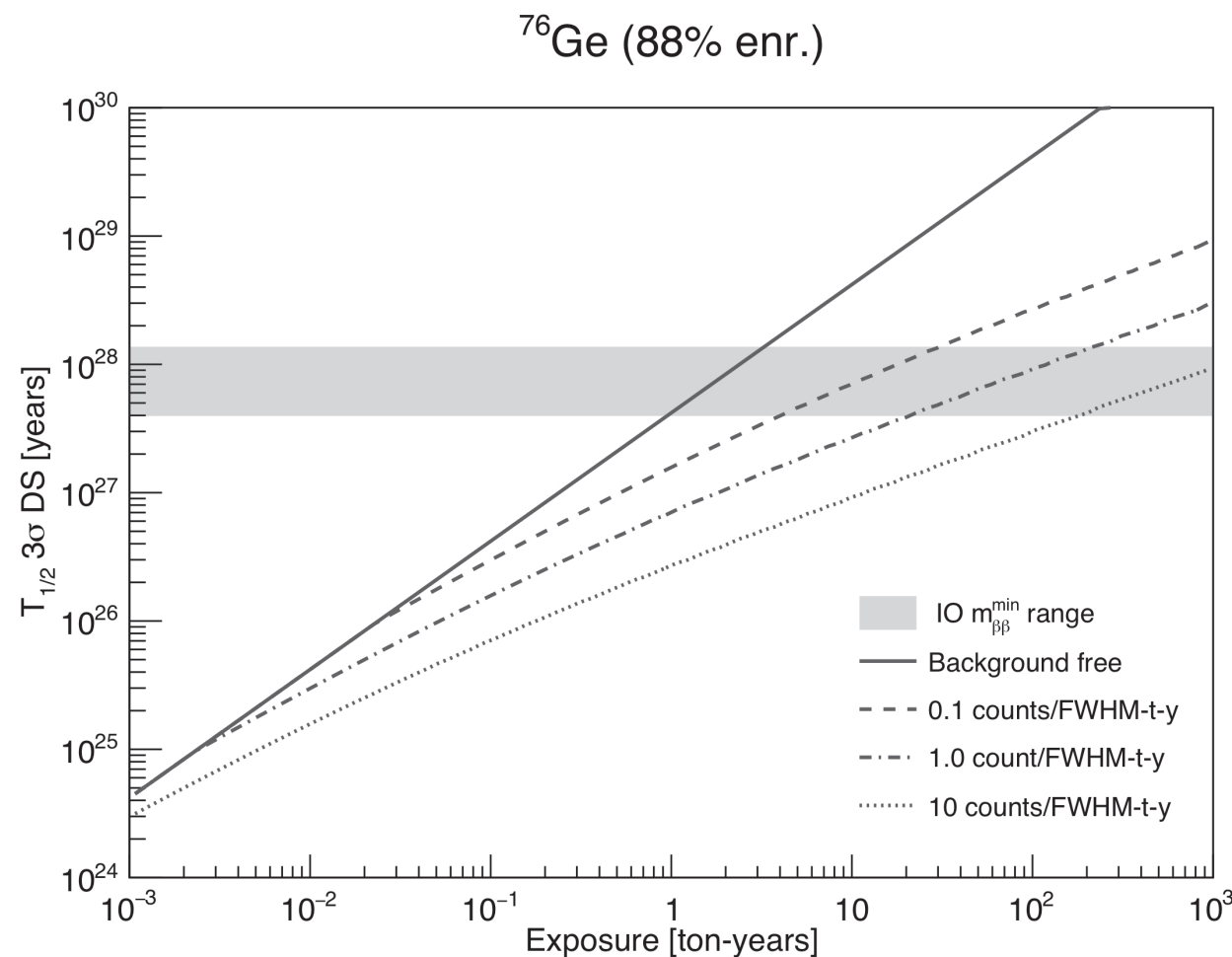
<https://arxiv.org/abs/1709.01980>

Future project

## GERDA + MAJORANA $\Rightarrow$ LEGEND

Background-free detector

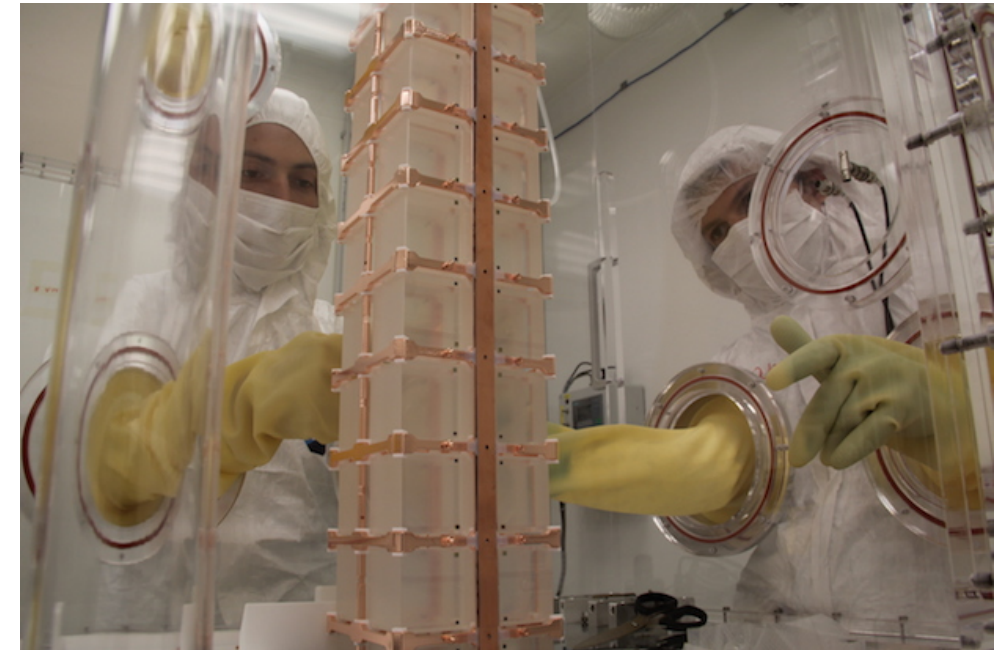
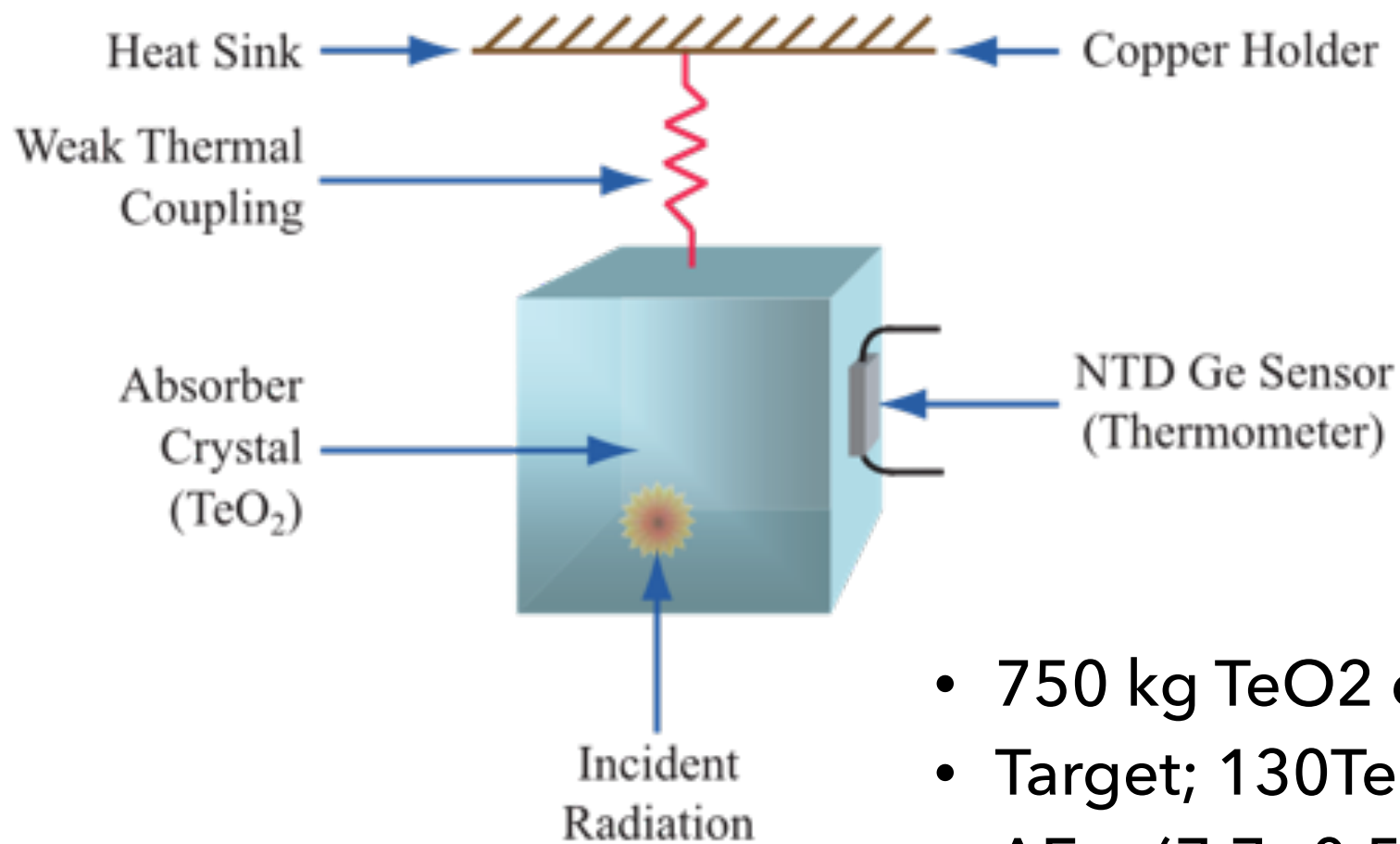
Using high purity  $^{76}\text{Ge}$  with ton-scale



# CUORE @ LNGS, Italy

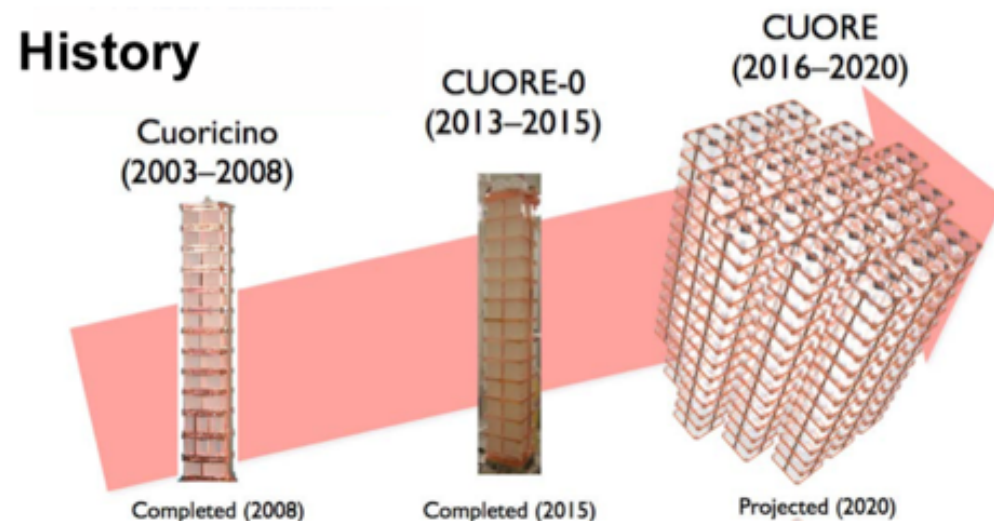
<https://arxiv.org/abs/1710.07988>

(Cryogenic **U**nderground **O**bservatory for **R**are **E**vents)



- 750 kg TeO<sub>2</sub> crystals
- Target; <sup>130</sup>Te (Q=2527keV) 34% of nat.
- $\Delta E = (7.7 \pm 0.5)$  keV FWHM

*High  $\Delta E$  & Large mass detector*



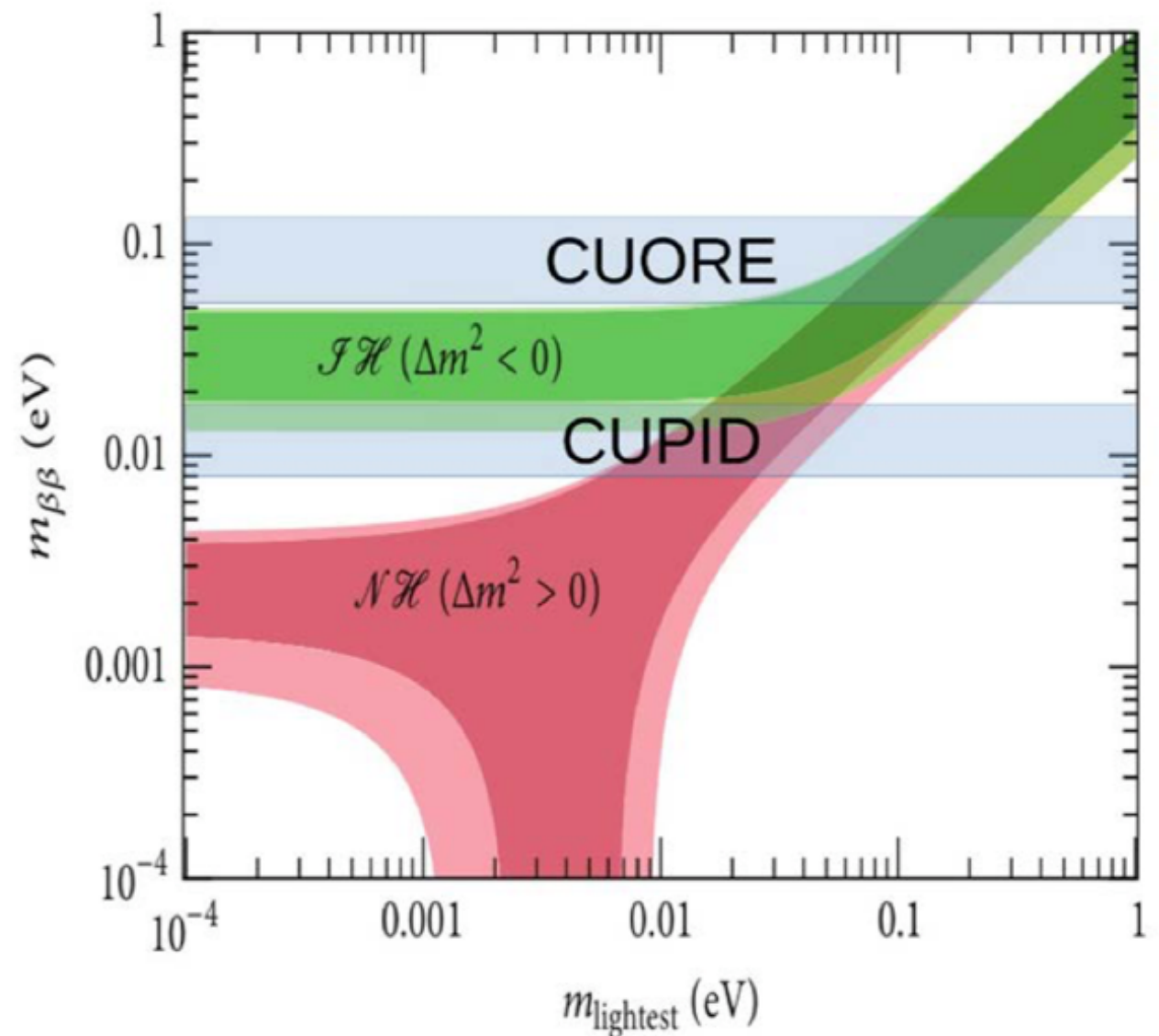
# CUPID

Future project

## Improvement from CUORE detector

Option1; Scintillating-Bolometer ( $\text{Zn}^{82}\text{Se}/\text{Li}_2^{100}\text{MoO}_4$ )

Option2;  $\text{TeO}_2$  + Light-detector (PI by Cerenkov photon)

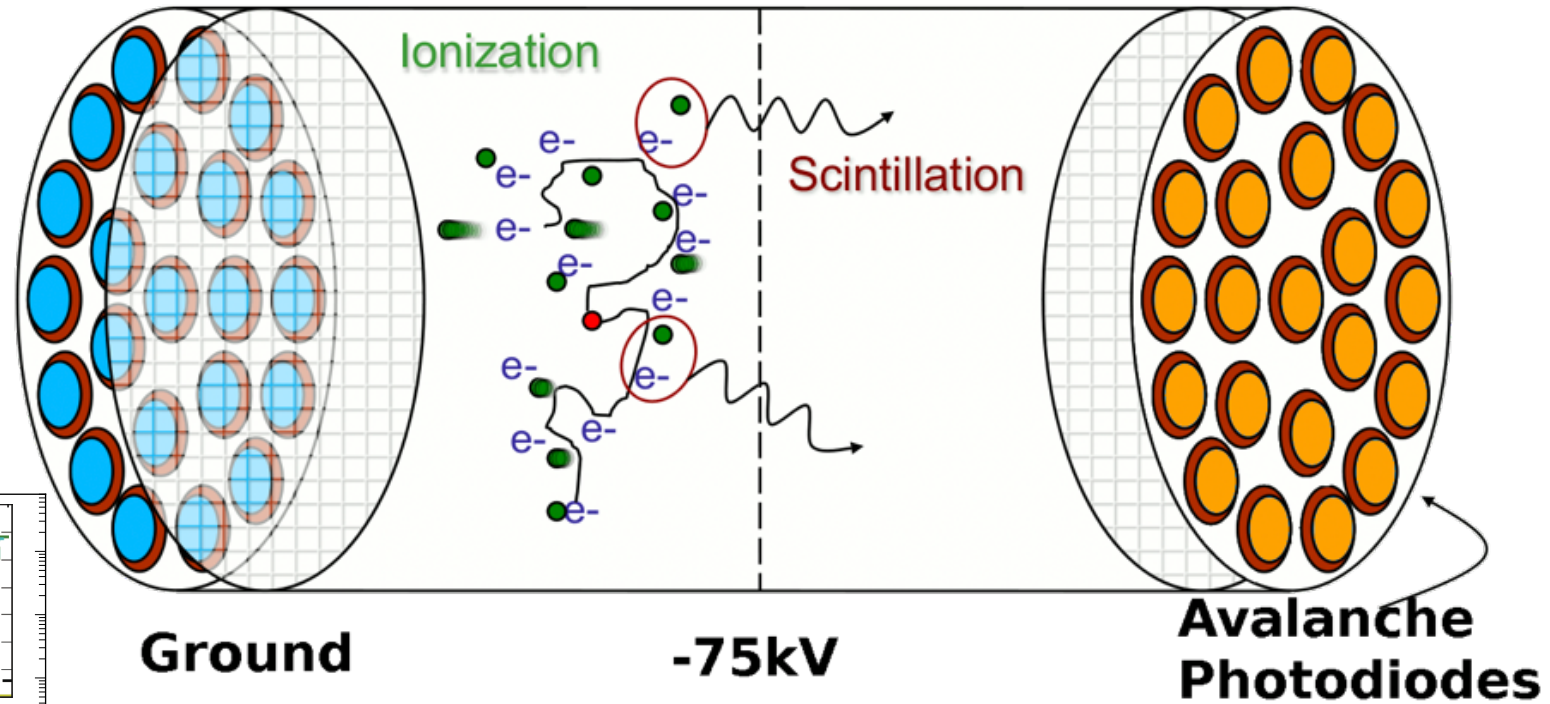


# EXO-200 @ WIPP, New Mexico

(Enriched Xenon Observatory)

• <https://arxiv.org/abs/1402.6956>  
 • <https://arxiv.org/abs/1605.06552>

- Liquid Xenon TPC; 175kg×86% of  $^{136}\text{Xe}$  + LAAPD
- $\sigma/E = 1.53\%$  @ Q-value
- Ba tagging ?

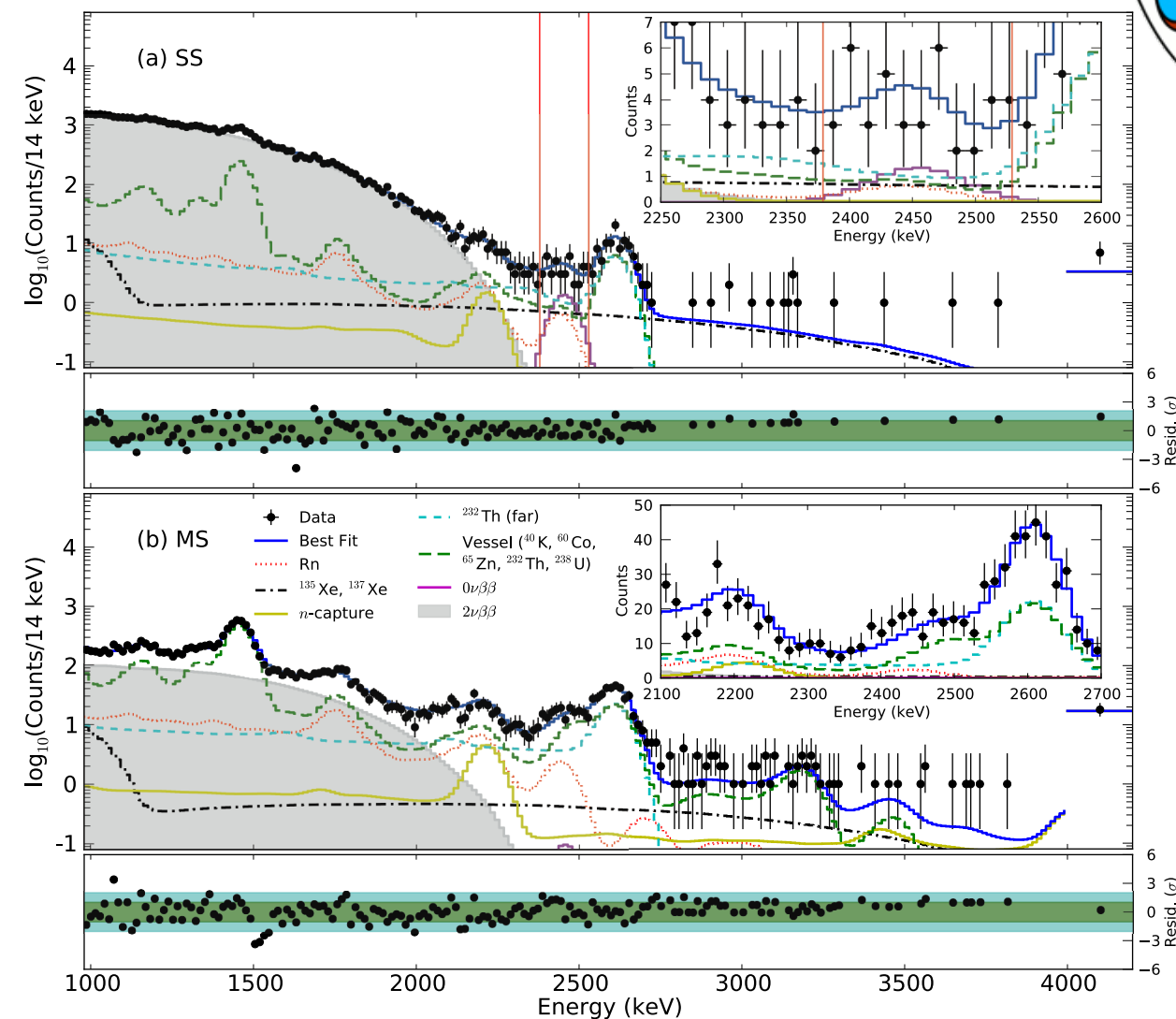


## Detection (Signal/Background identification)

- TPC observes "e-" from ionization; → Identification Single/Multi-site
- APD detects "scintillation light"; → Energy, alpha-particle

### Exotic double-beta

- Majoran (<https://arxiv.org/abs/1409.6829>)
- TPC violation (<https://arxiv.org/abs/1601.07266>)



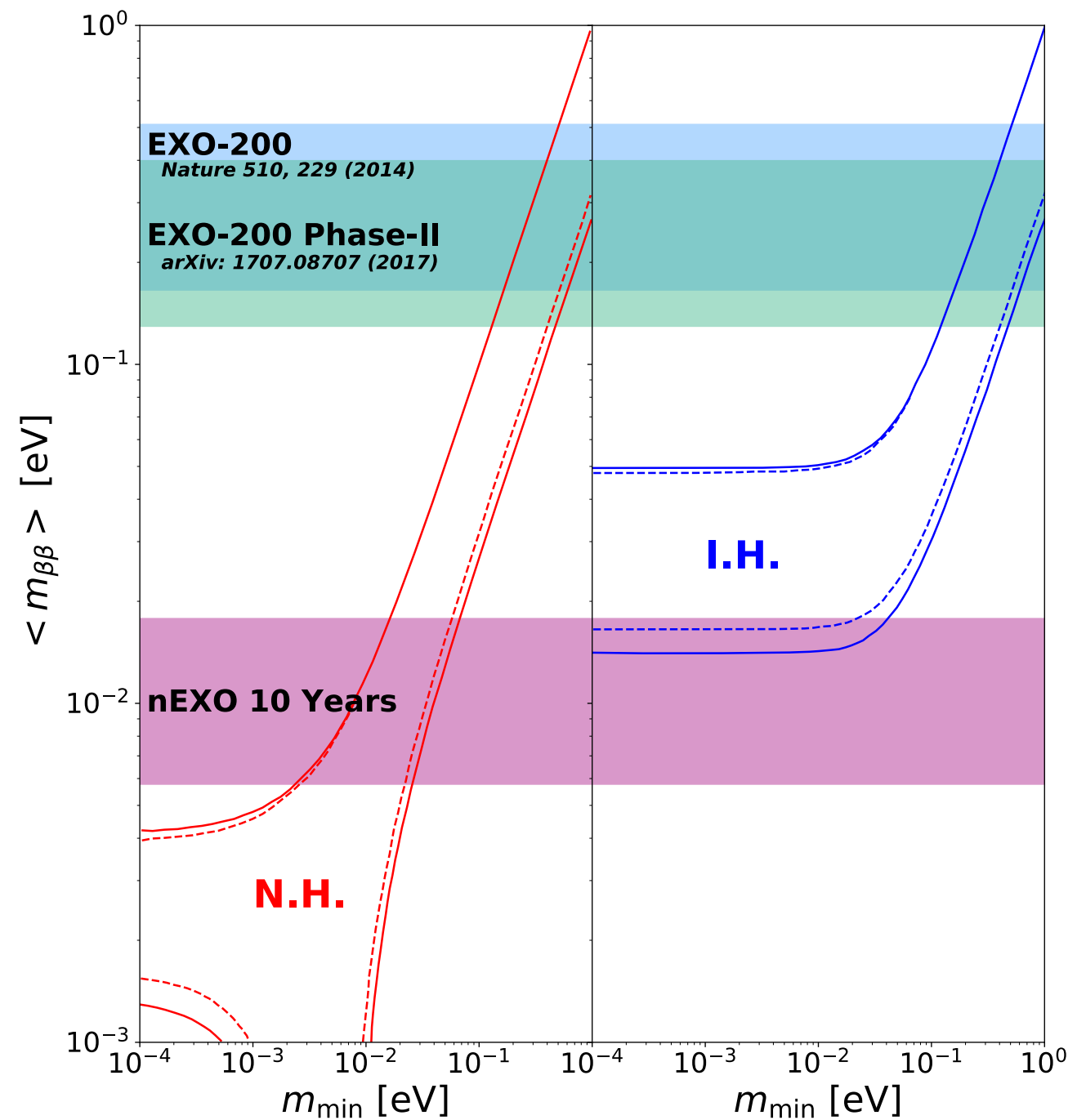
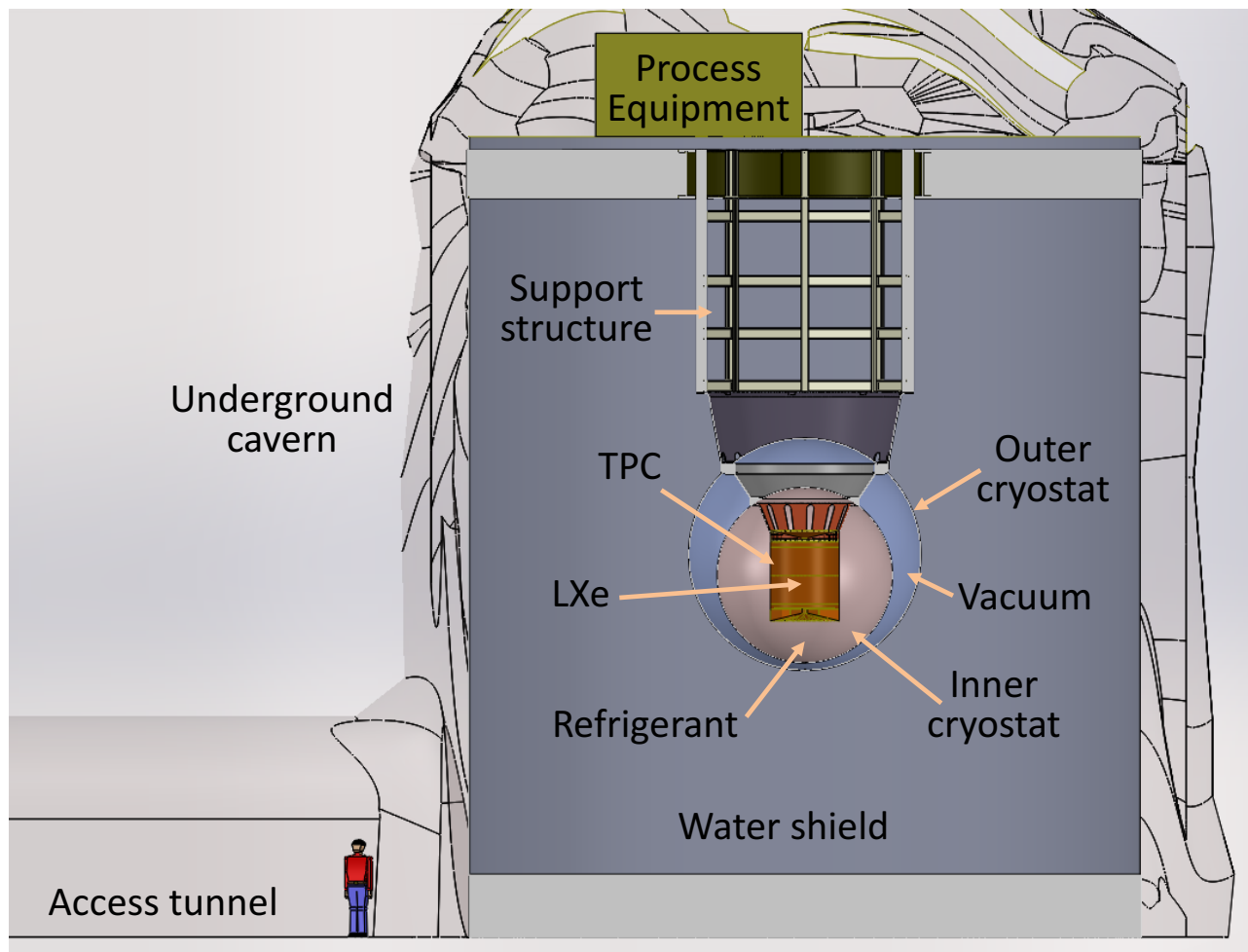
# nEXO

(next Enriched Xenon Observatory)

• <https://arxiv.org/abs/1710.05075>

Future project

- ~5000kg of LXe  
(TPC Xenon is ~ 4000kg)
- $\sigma/E < 1.0\%$
- In SNO Lab.



# Super-NEMO@ Modane, France

()

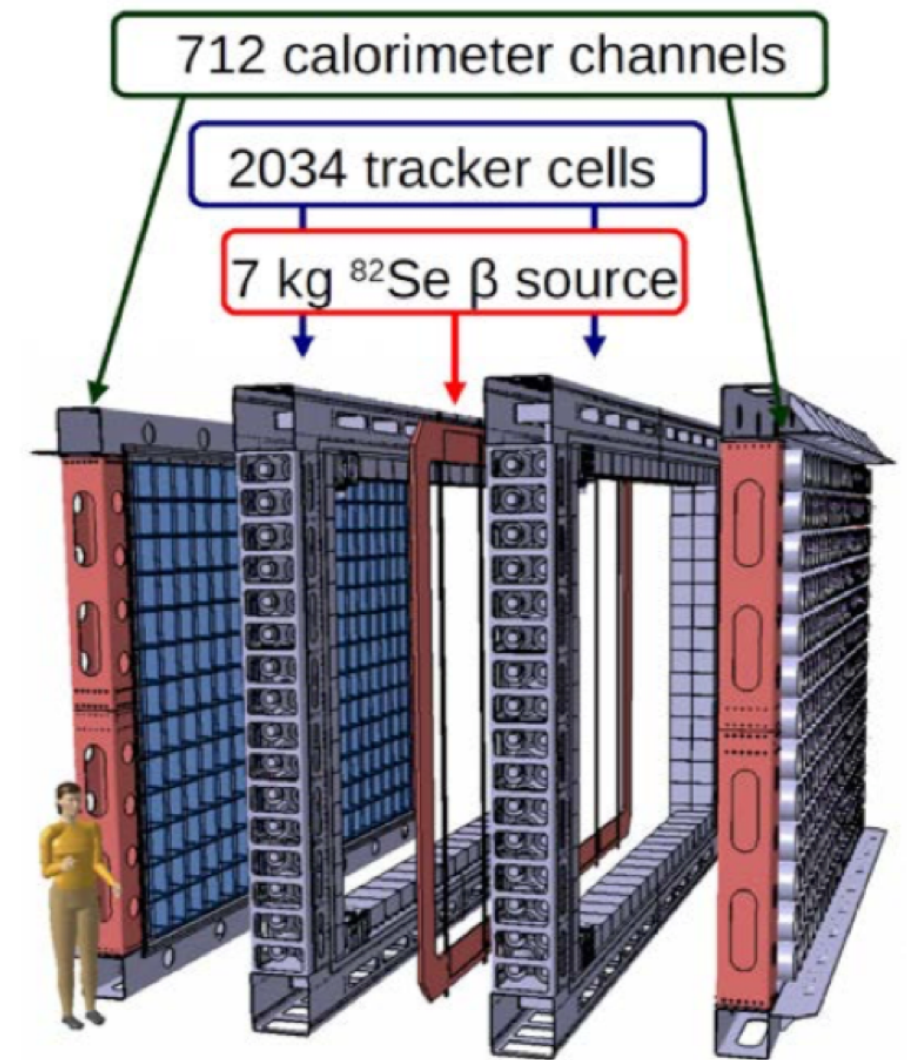
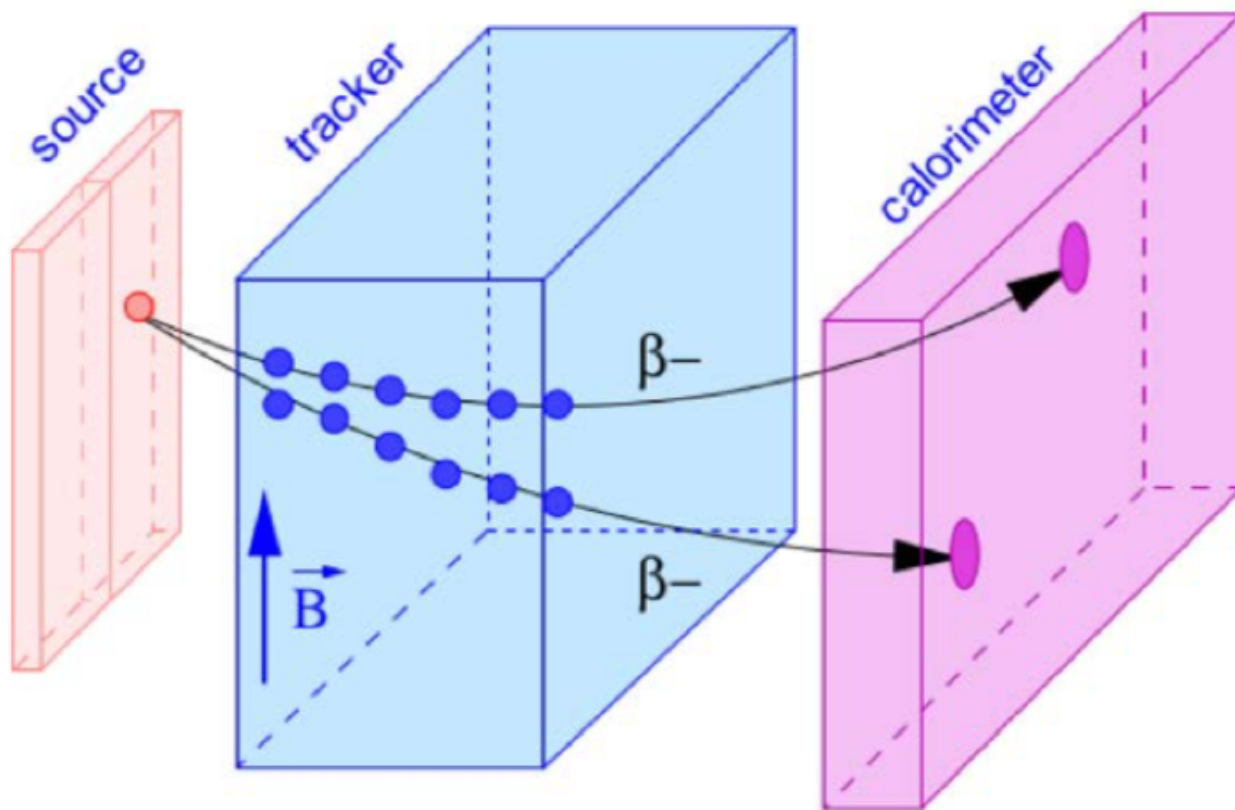
Future project

<https://arxiv.org/pdf/1707.06823.pdf>

## Tracking Detector

- Target;  $^{82}\text{Se}$  etc,  $\sim 7\text{kg}/\text{module}$  (total 100kg)
- $\Delta E = 8\% \text{ FWHM @ } 1\text{MeV}$

### Currently working as NEMO-3



# NEXT @ LSC, Spain

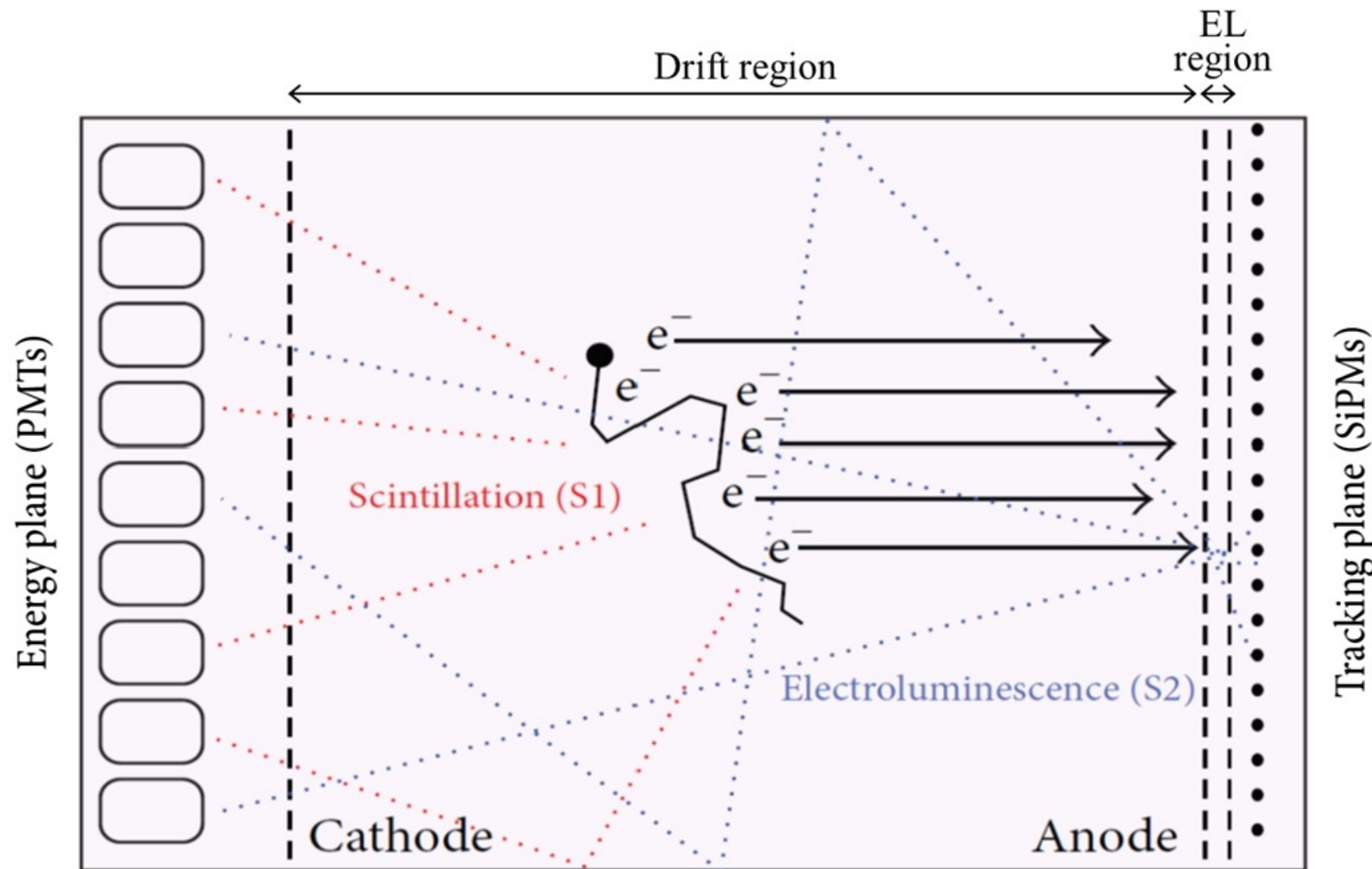
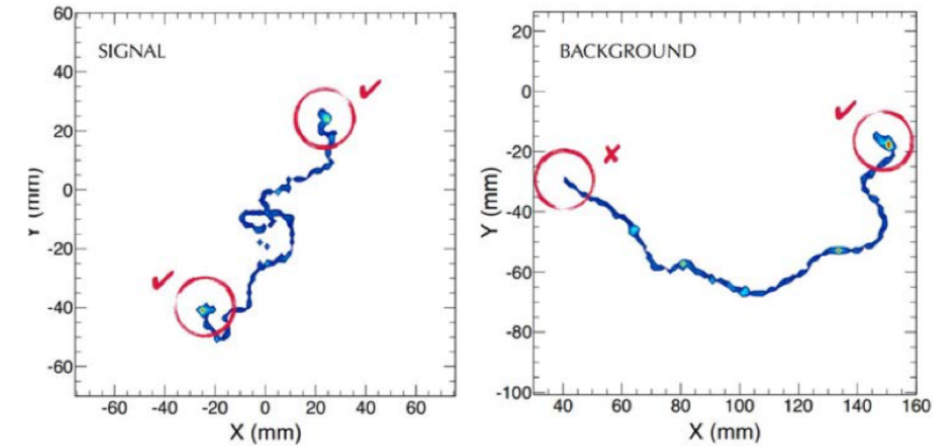
(Neutrino Experiment with a Xenon TPC)

• <http://iopscience.iop.org/article/10.1088/1748-0221/7/06/T06001/pdf>

• <https://www.sciencedirect.com/science/article/pii/S0370269317307153?via%3Dihub>

*Future project*

- 10-15bar Gas Xenon TPC;  $^{136}\text{Xe} \sim 100\text{kg}$
- $\Delta E \sim 3\%$  @ 2.5MeV by Electro-Luminescence
- Using event topology



# PANDAX-III

@ Jin-Ping, China

(Particle And Astrophysical Xenon Experiment)

*Future project*

<https://arxiv.org/abs/1710.08908>

- 10-15bar Gas Xenon TPC;  $^{136}\text{Xe}$  ~ 200kg
- Currently data taking with 20kg scale prototype

